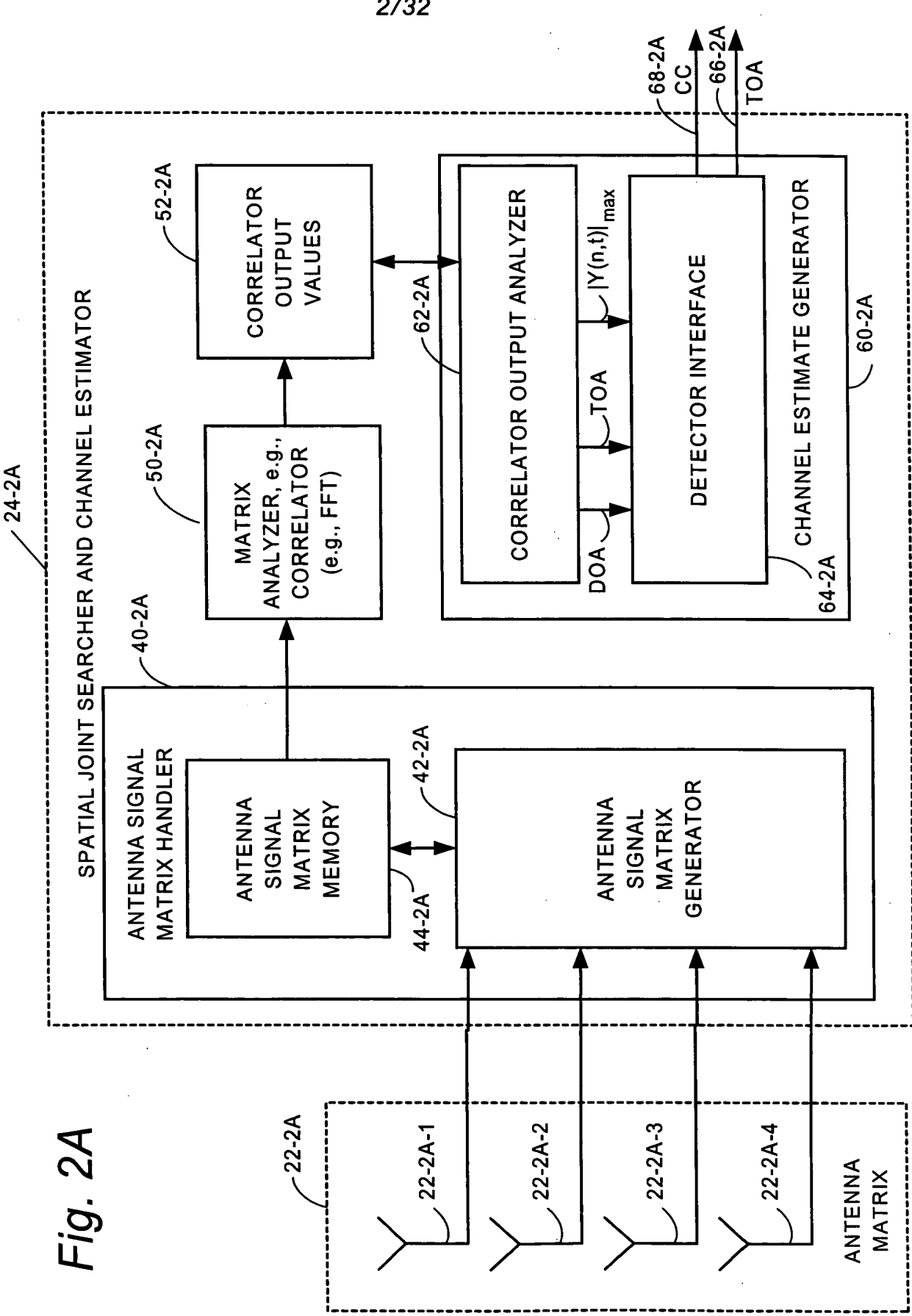


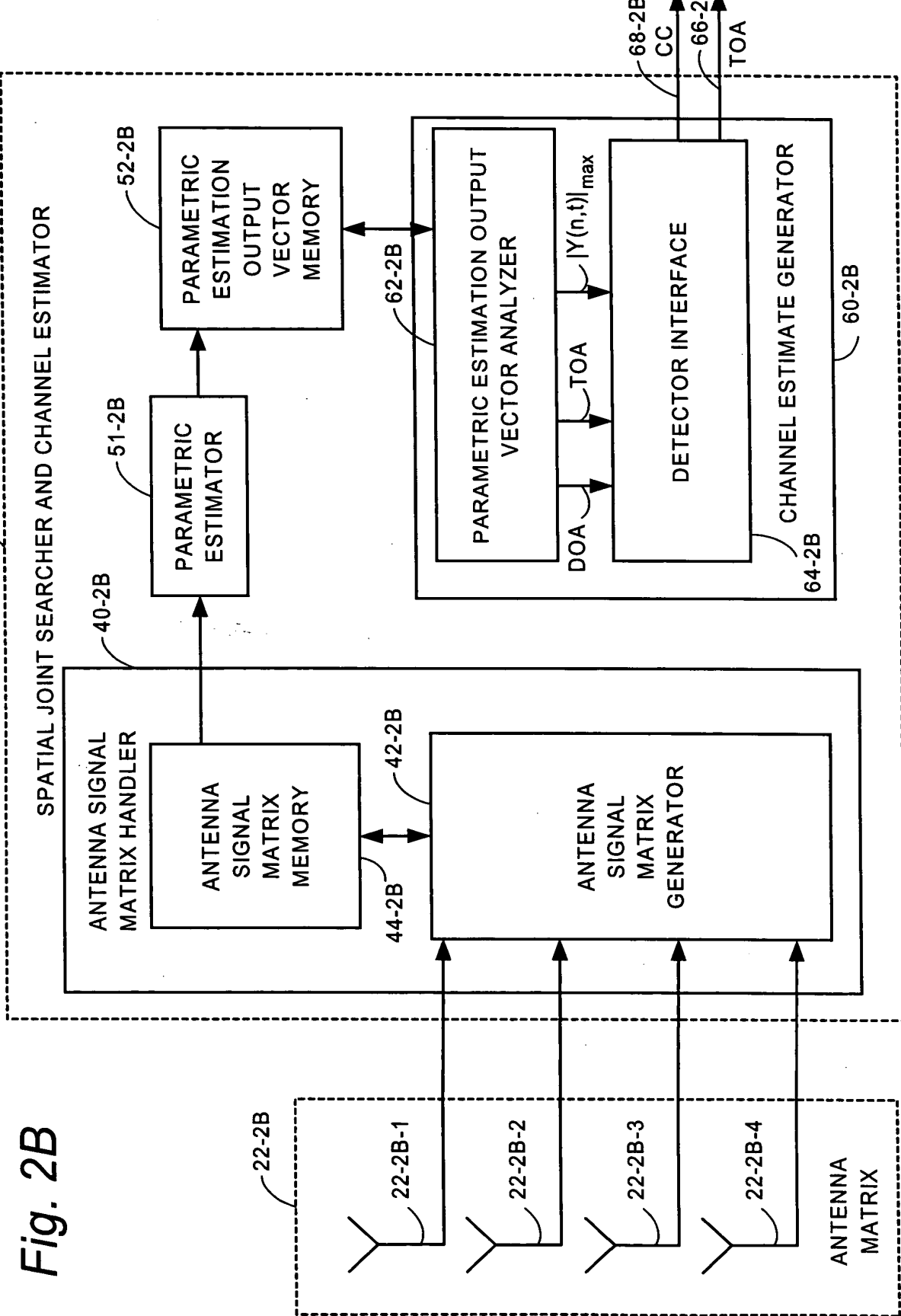
Fig. 1

*Fig. 2A*



24-2B

Fig. 2B



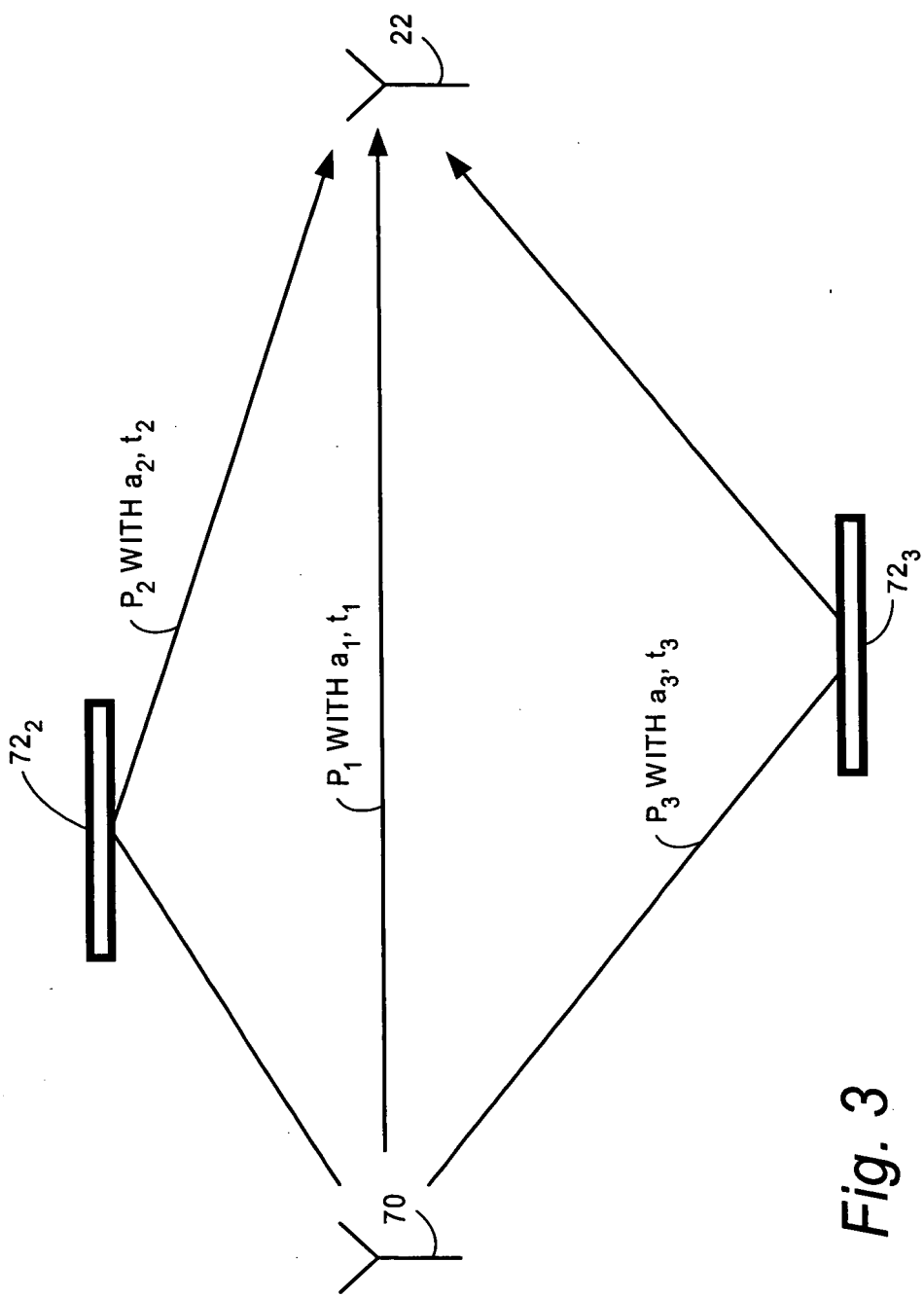


Fig. 3

Fig. 4

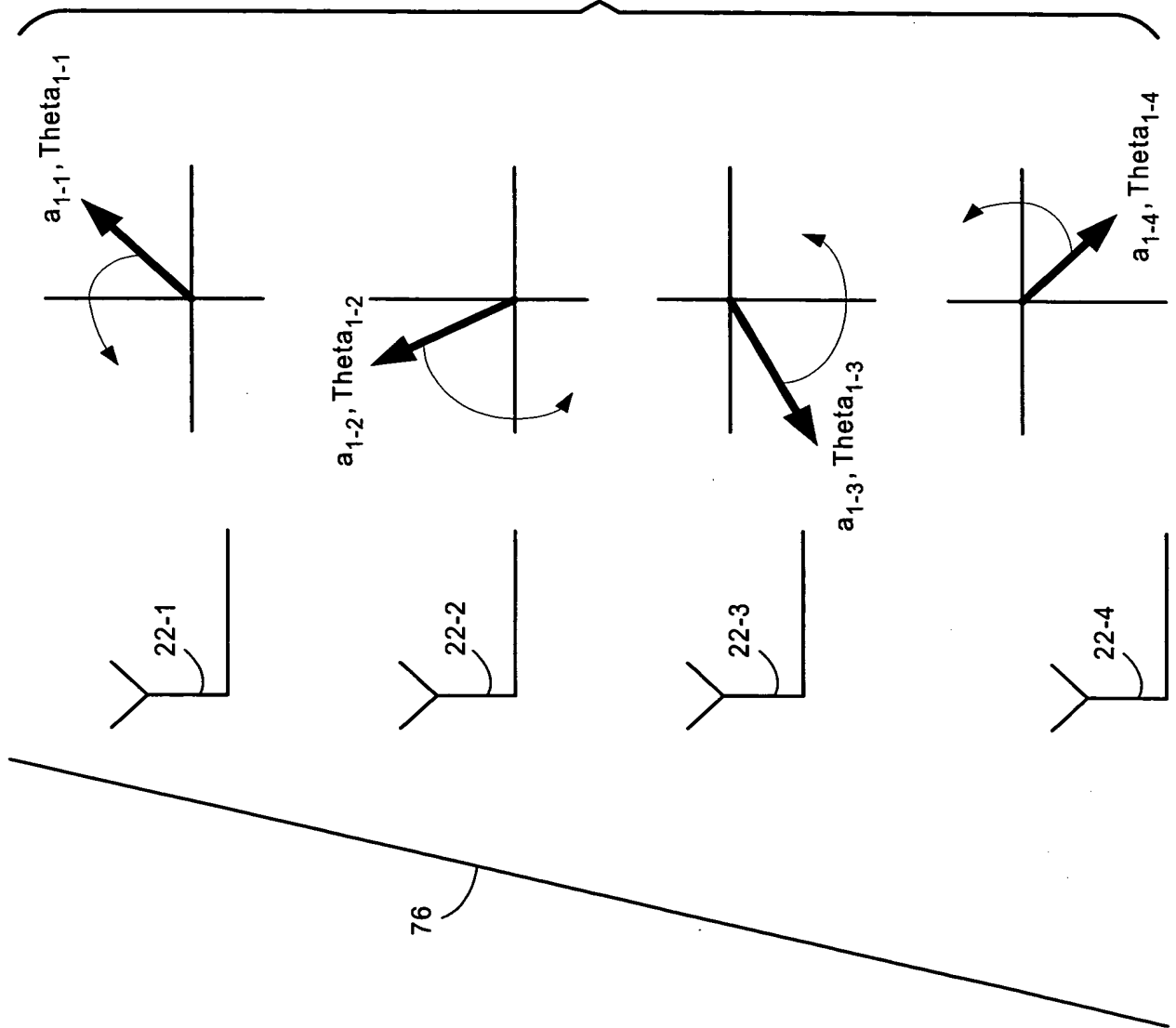


Fig. 5B

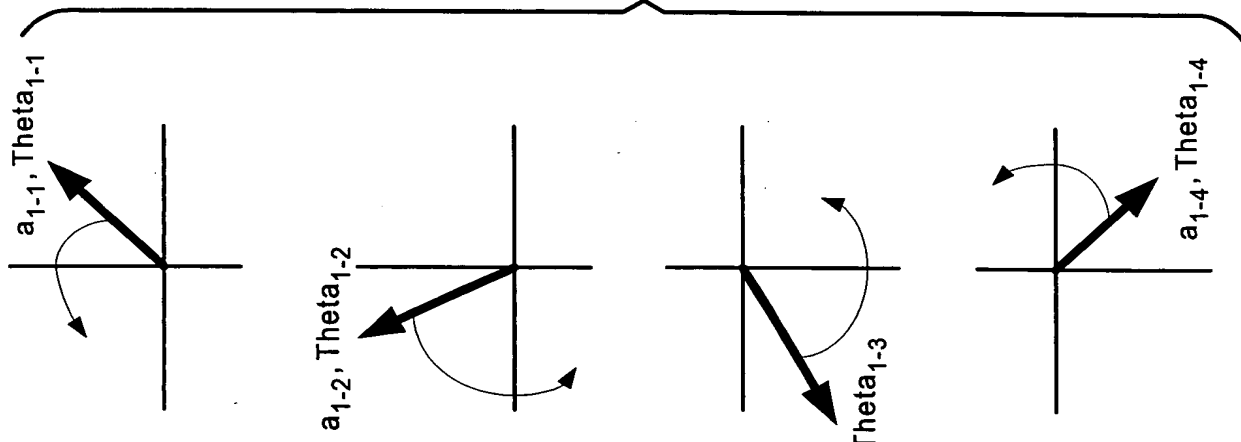
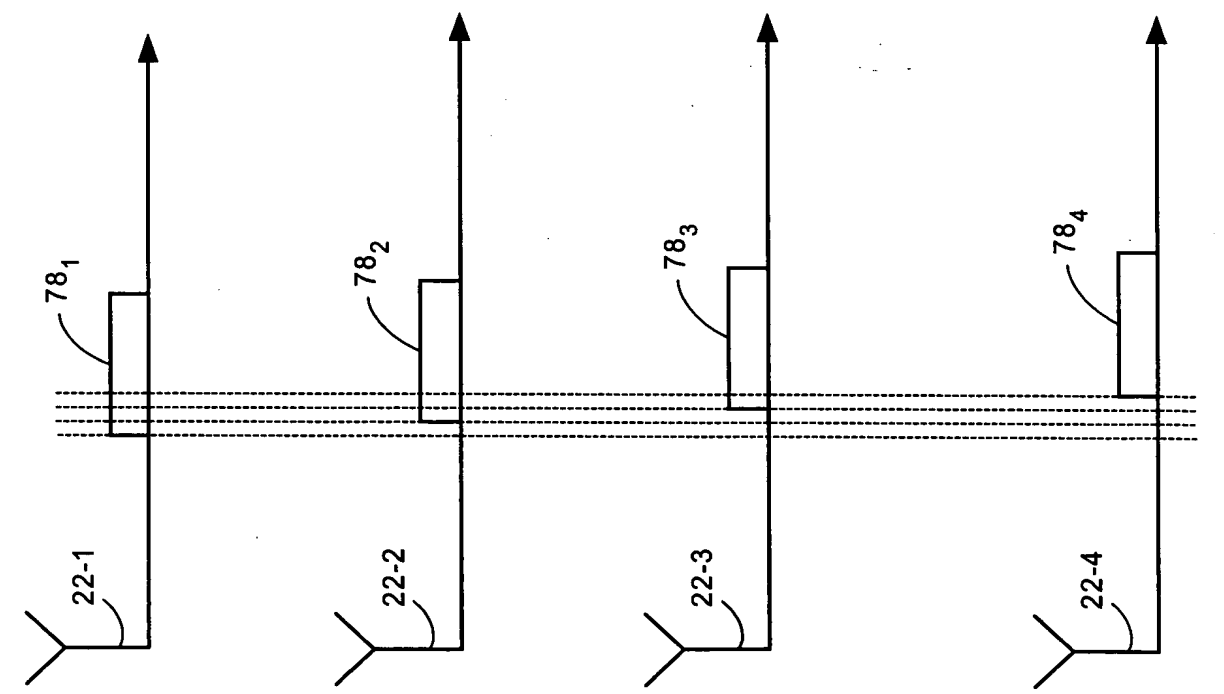


Fig. 5A



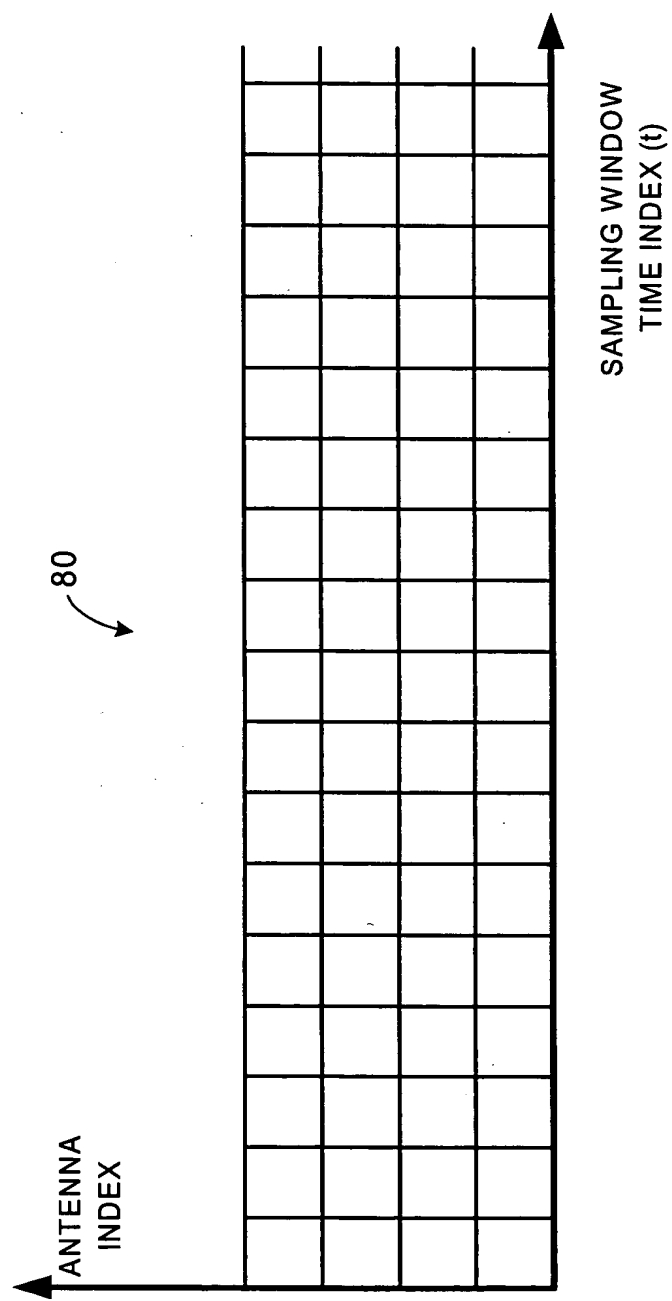
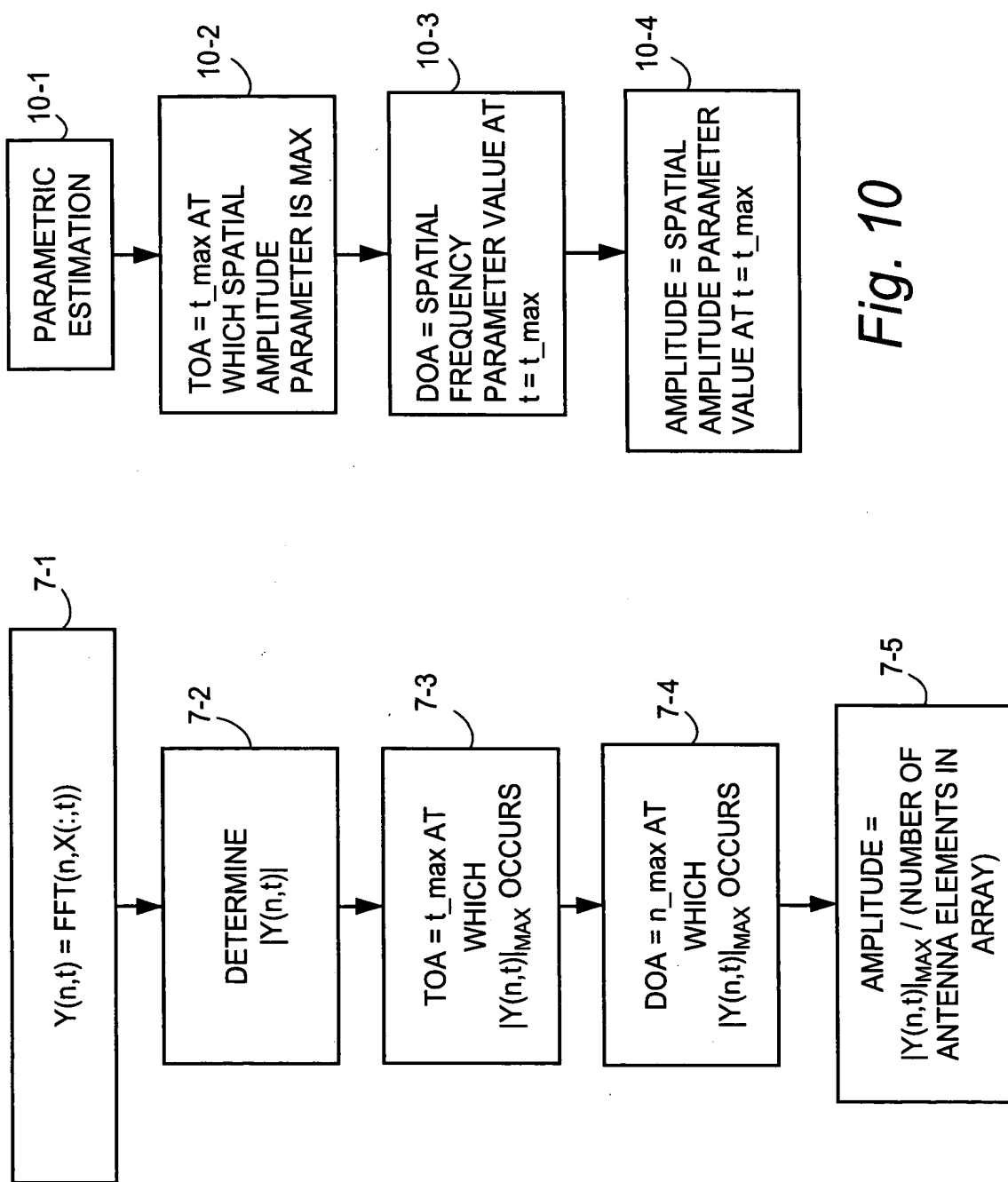


Fig. 6



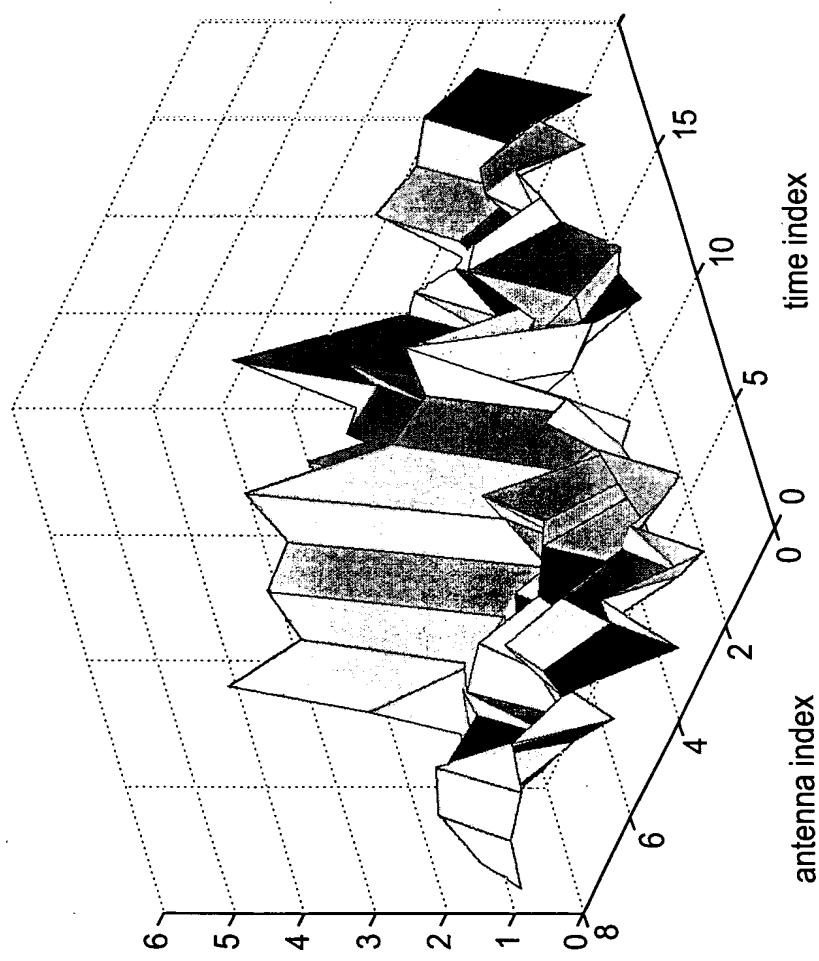


Fig. 8A

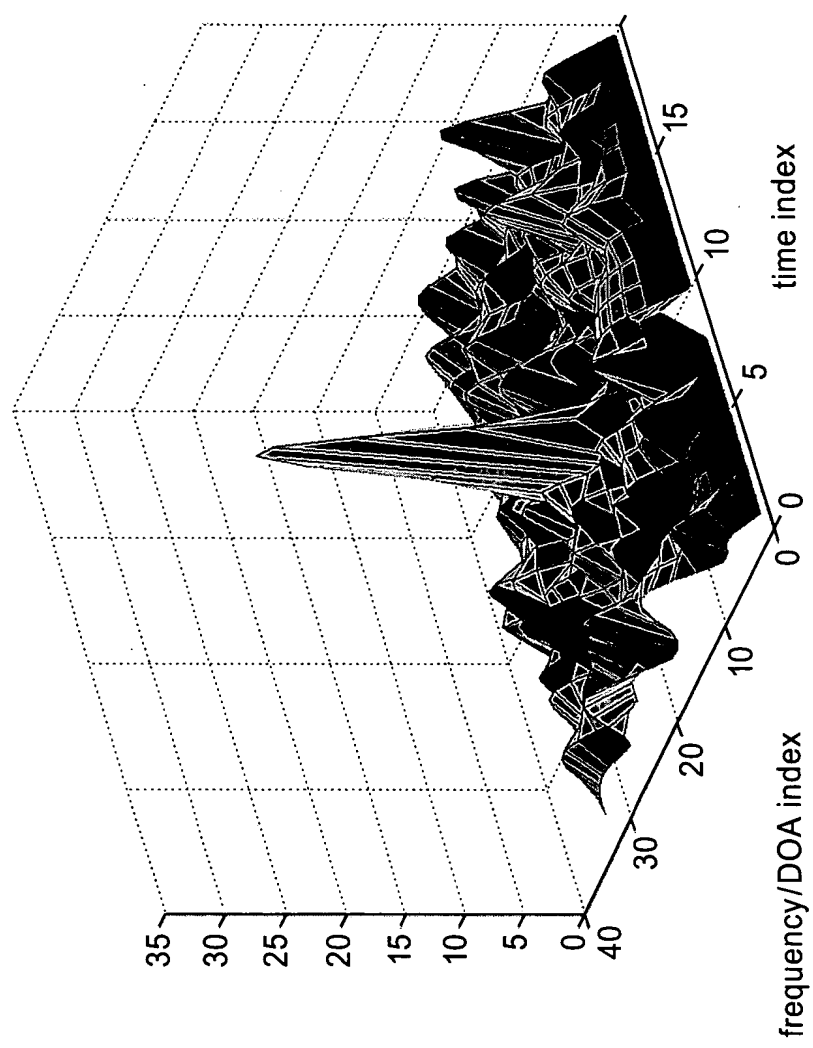
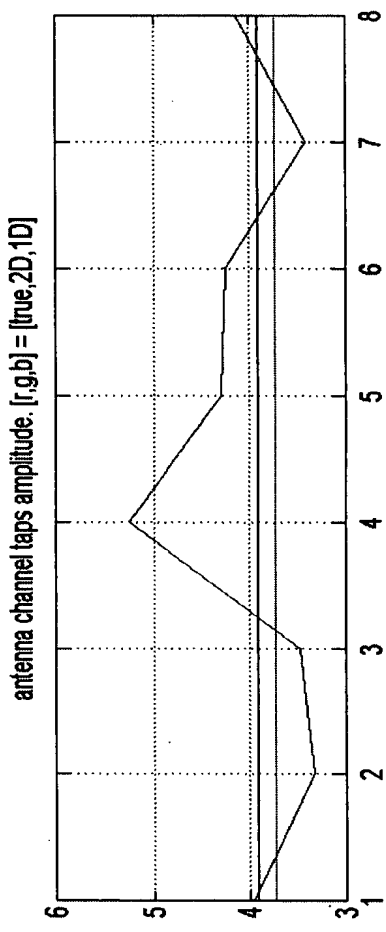
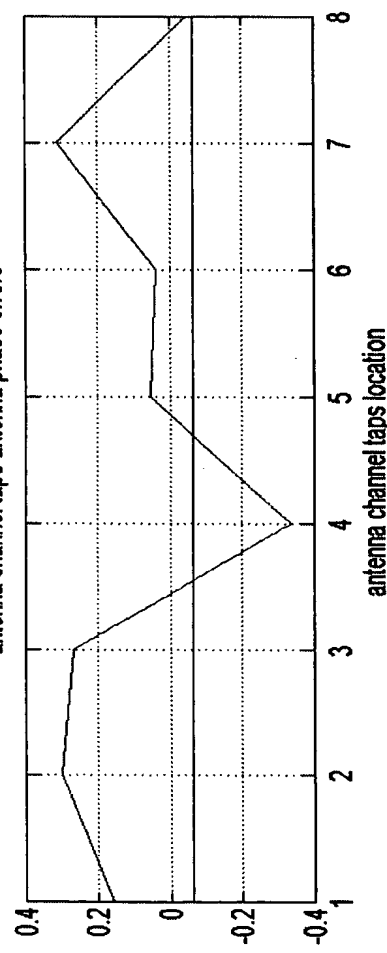
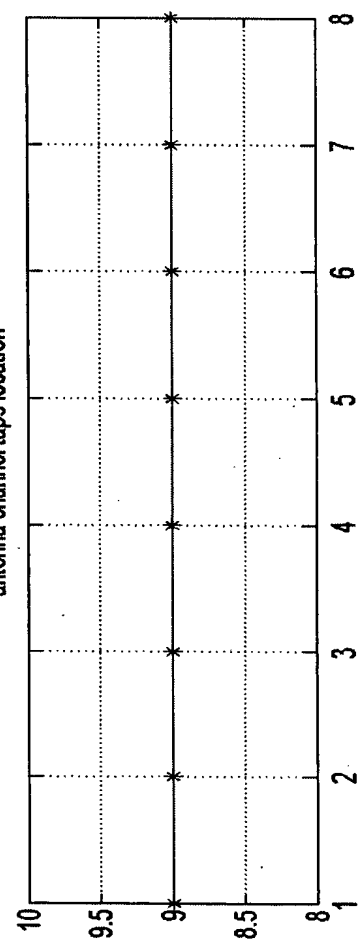


Fig. 8B

*Fig. 8C(1)**Fig. 8C(2)**Fig. 8C(3)*

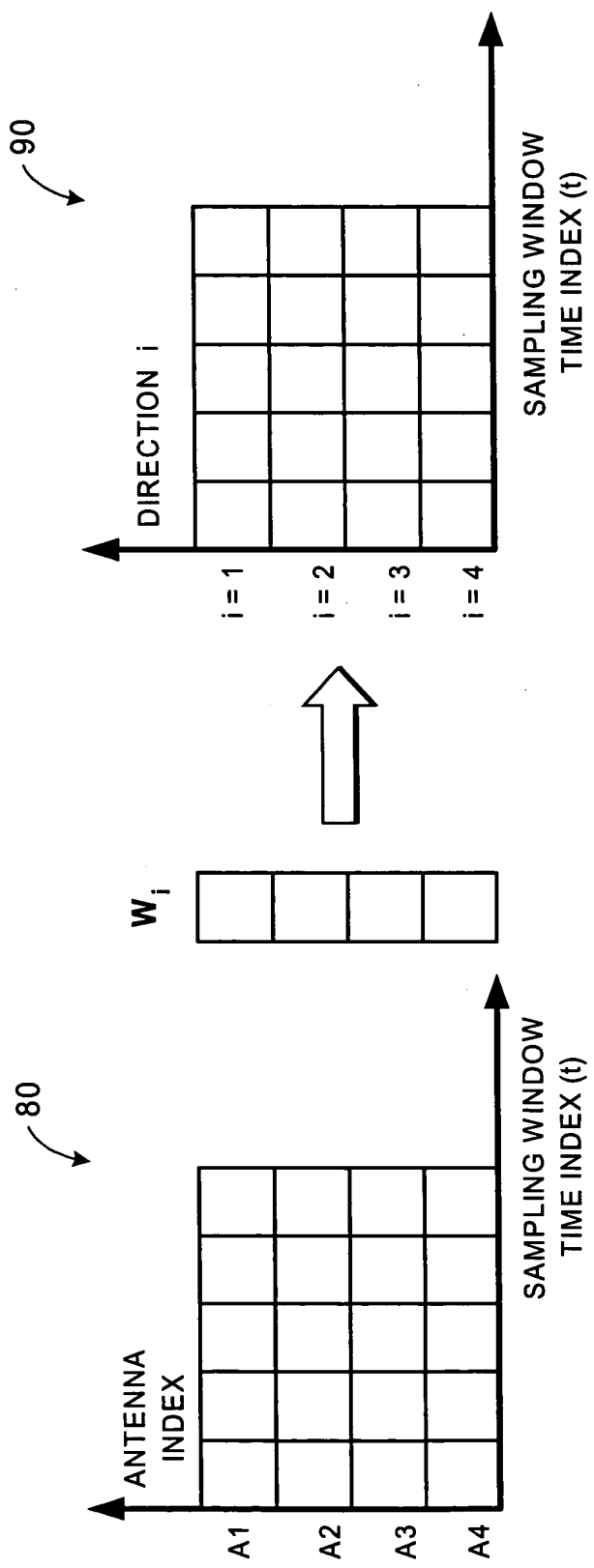


Fig. 9A

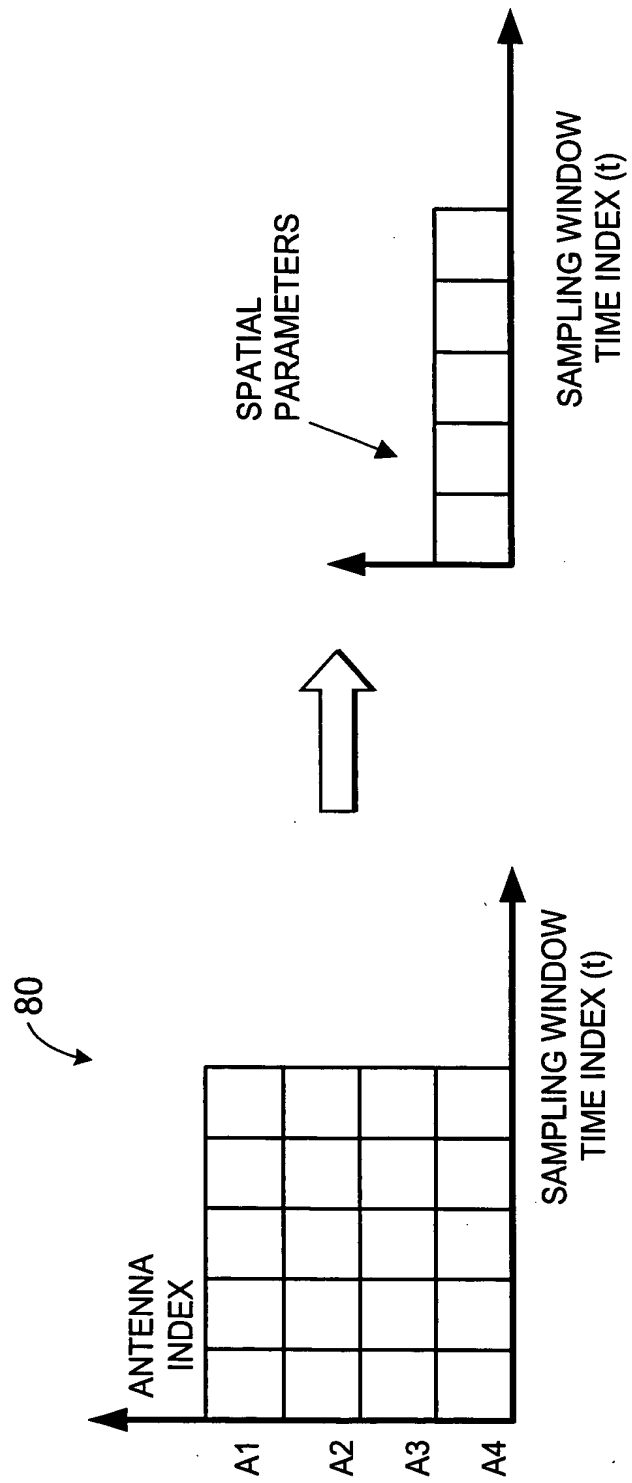


Fig. 9B

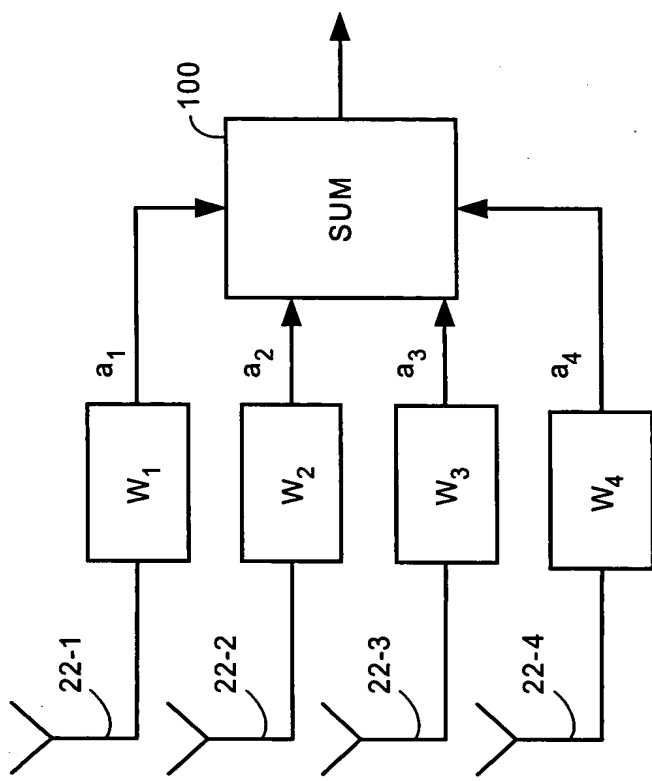


Fig. 12

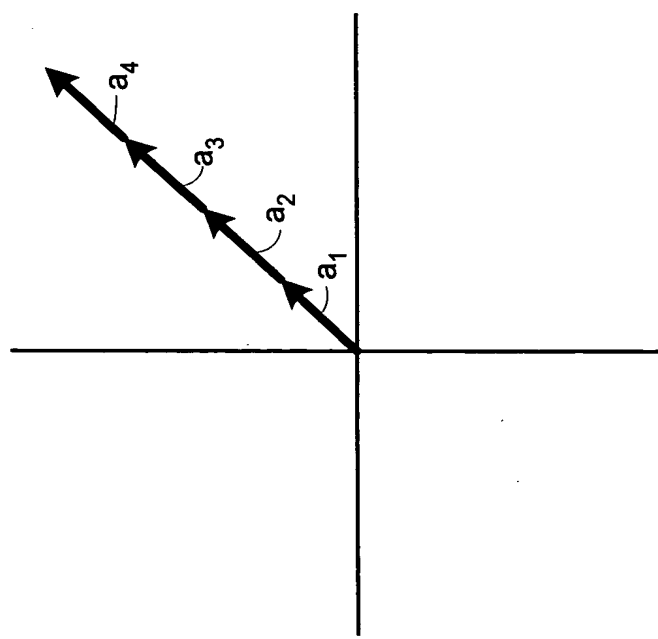
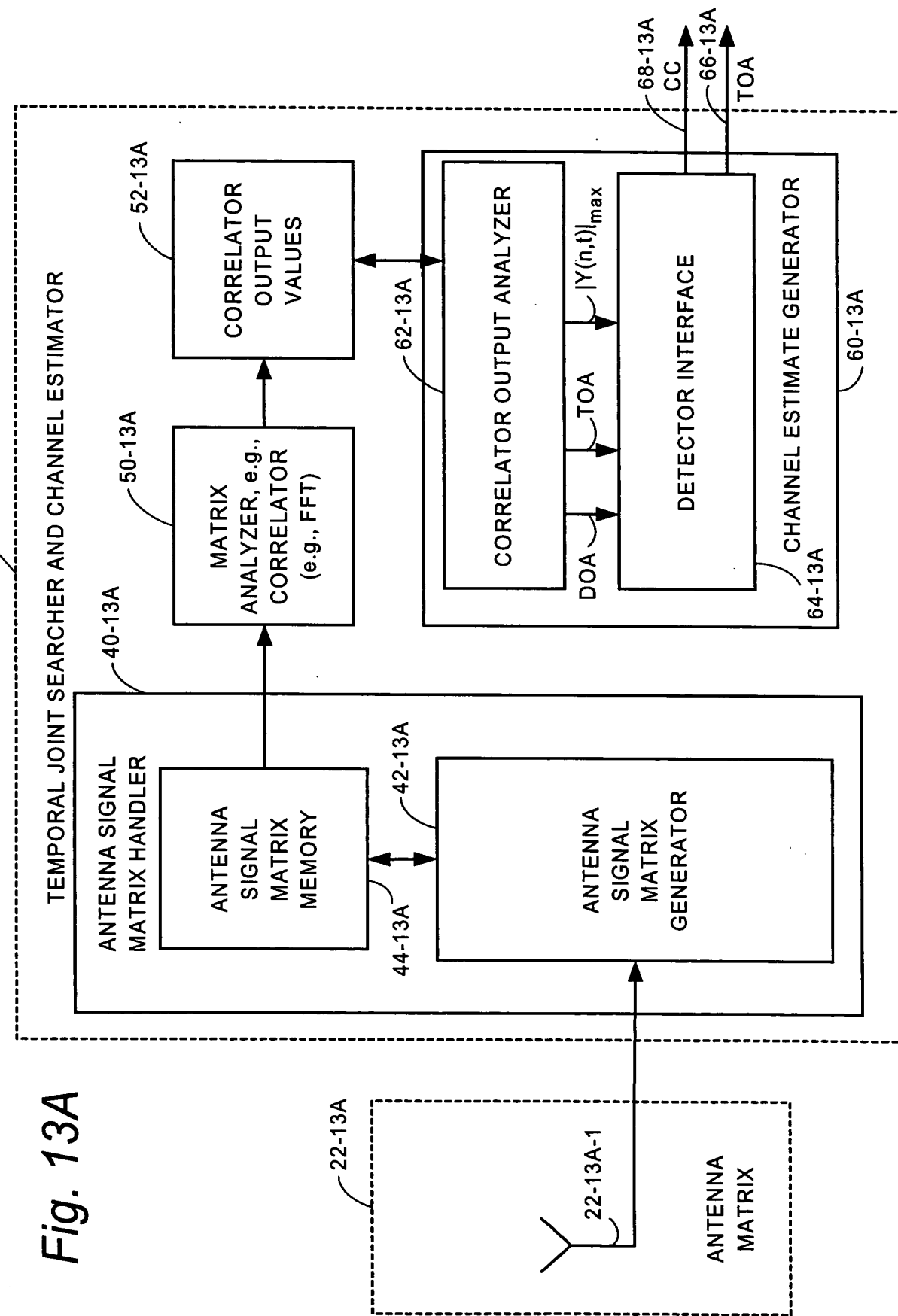


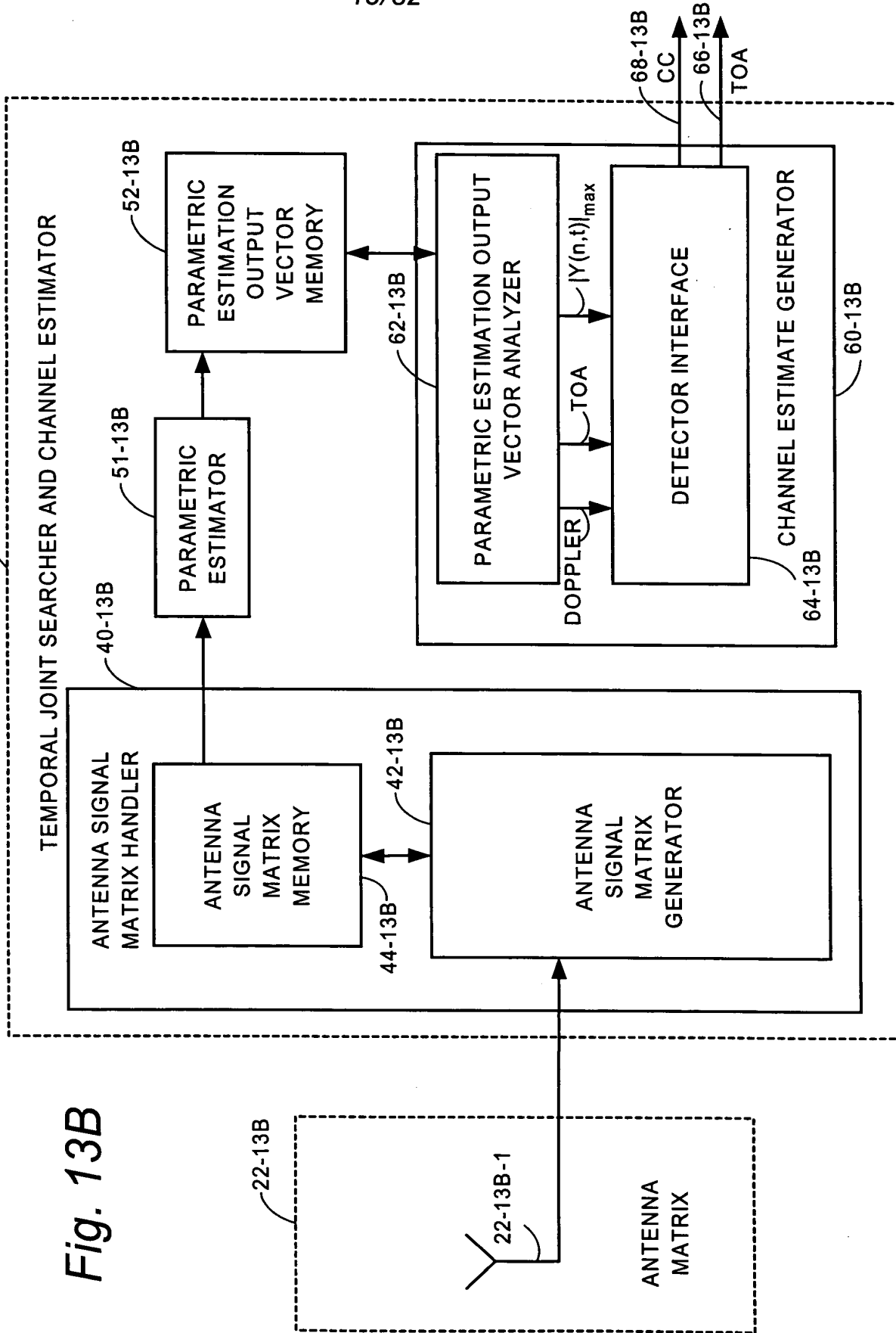
Fig. 11

24-13A

Fig. 13A



24-13B



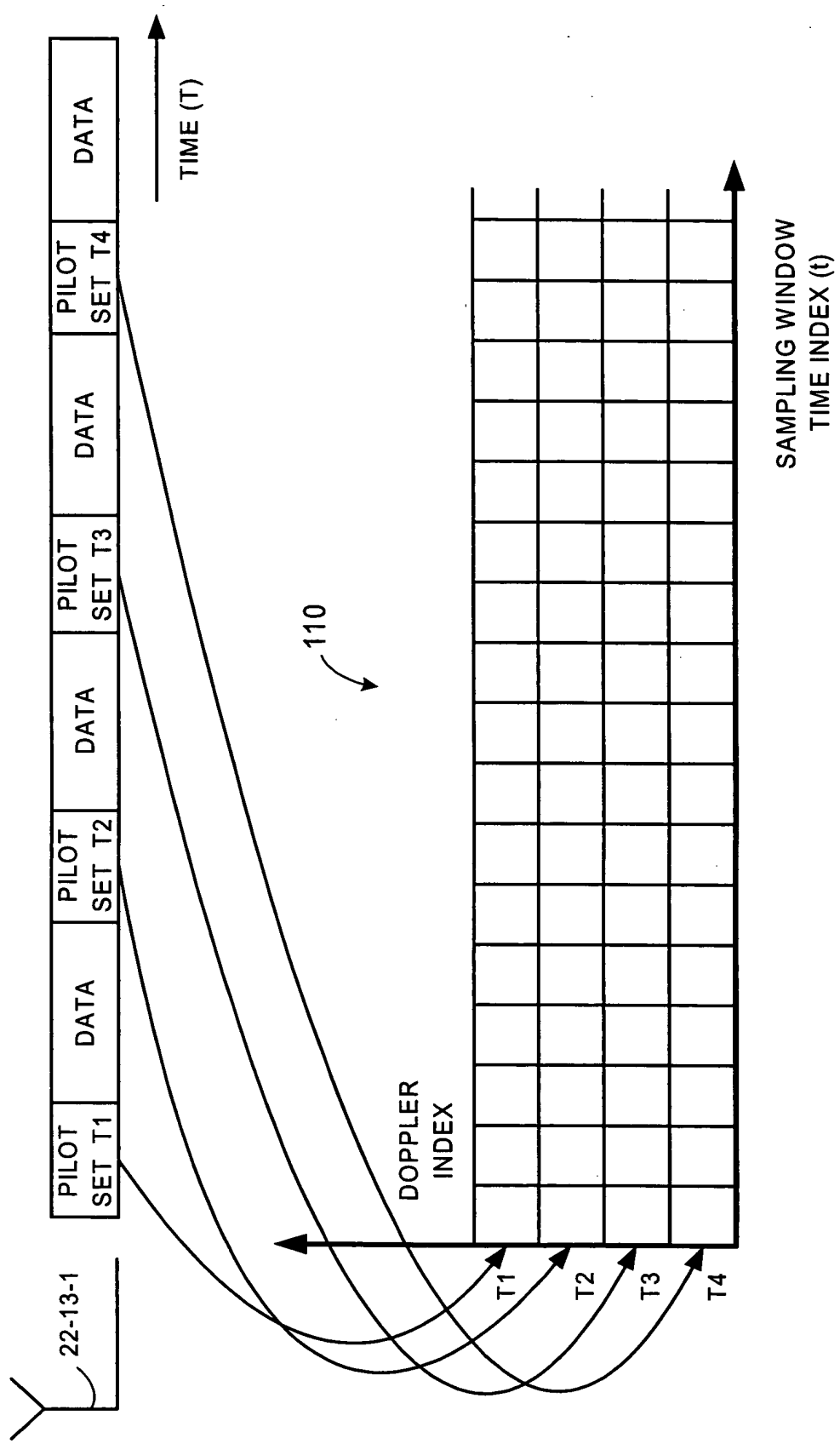
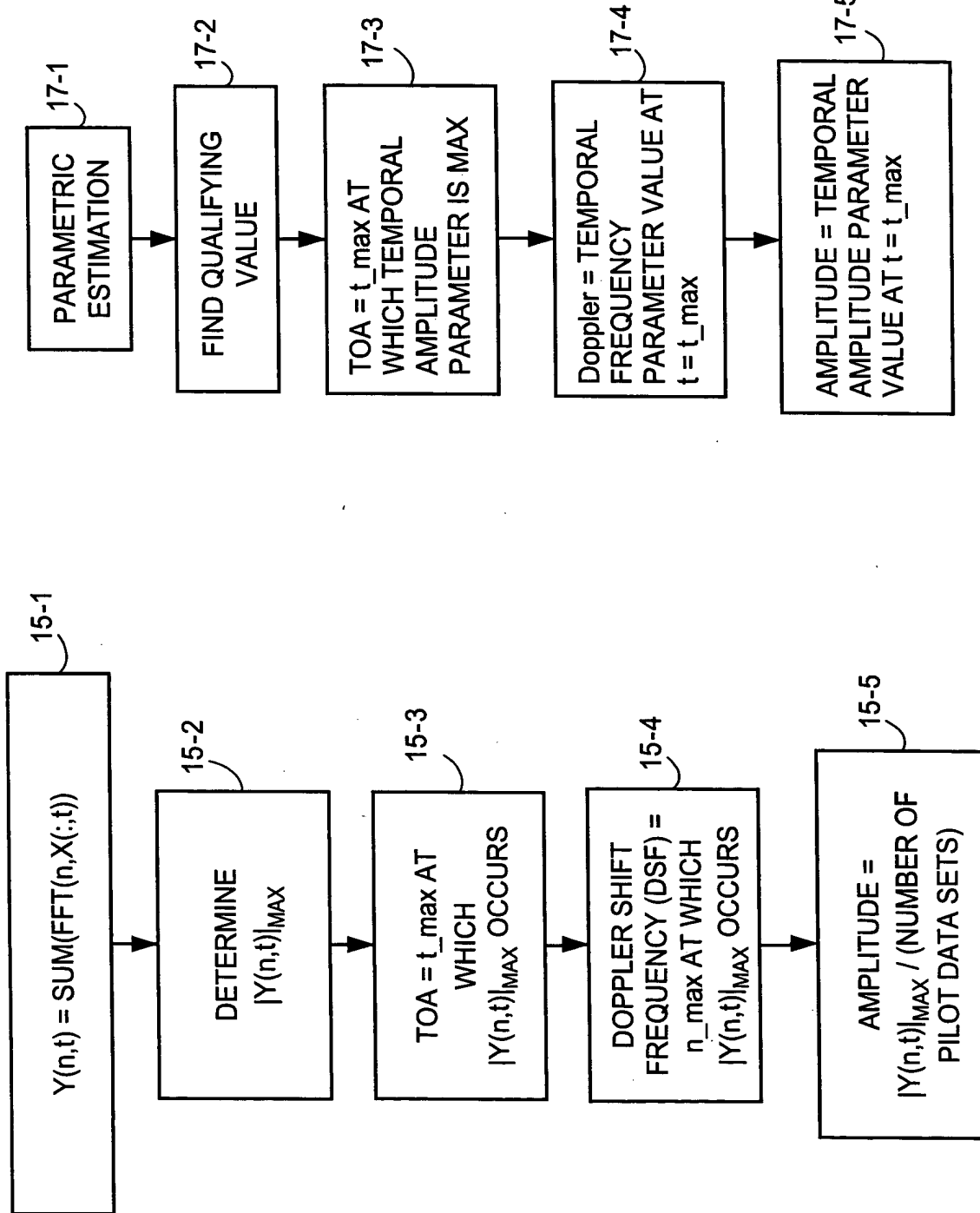


Fig. 14

**Fig. 17**

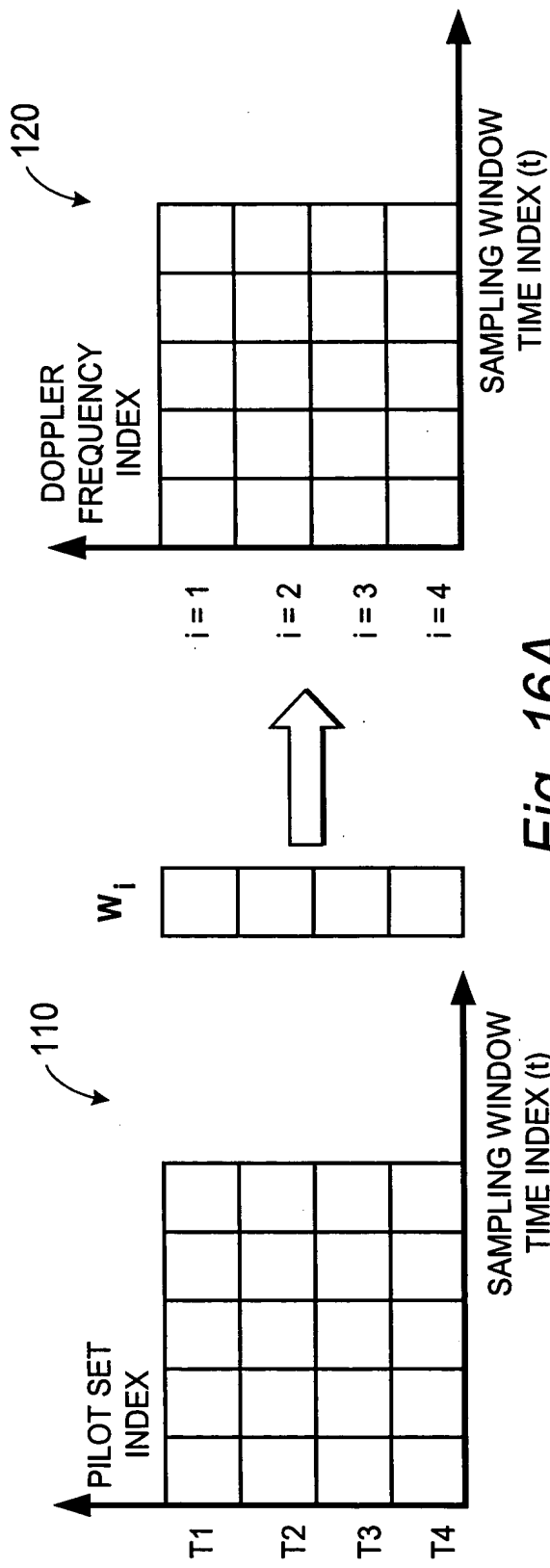


Fig. 16A

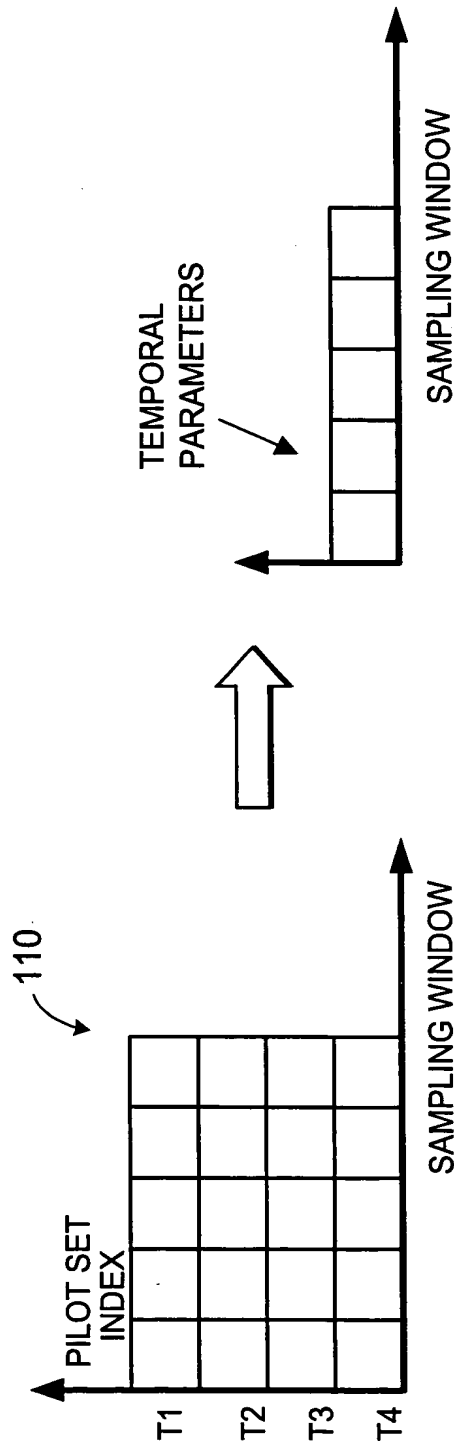
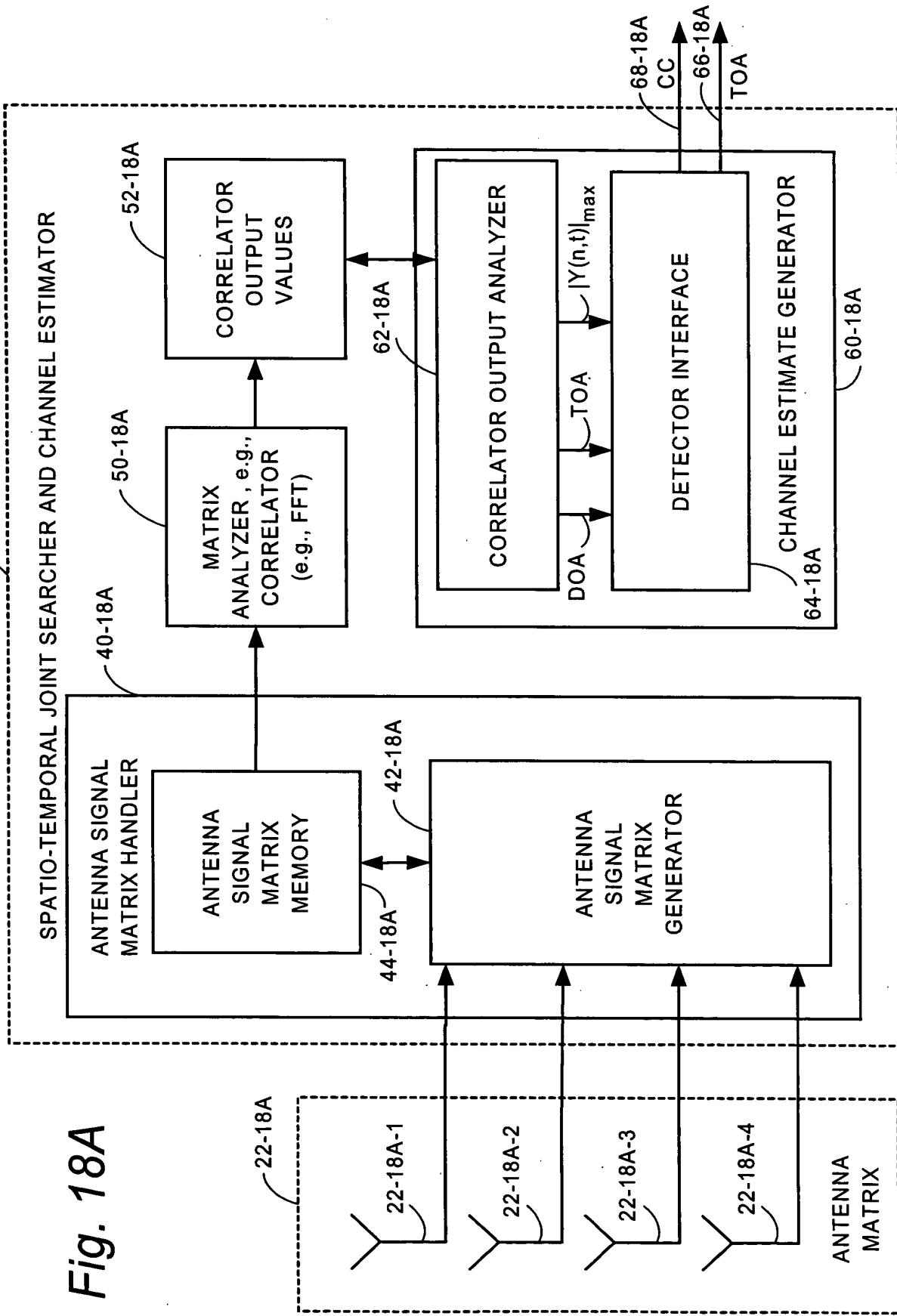
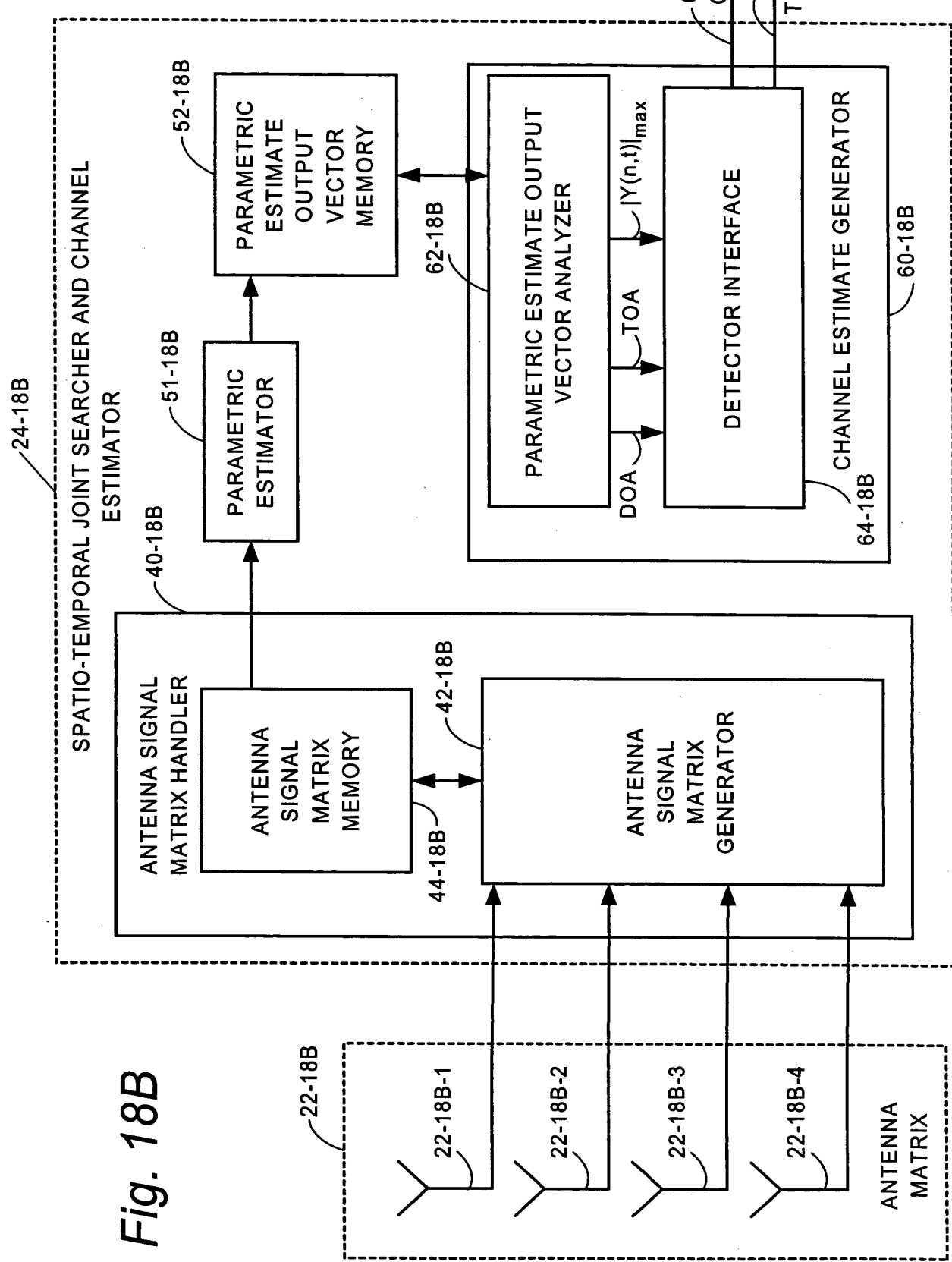


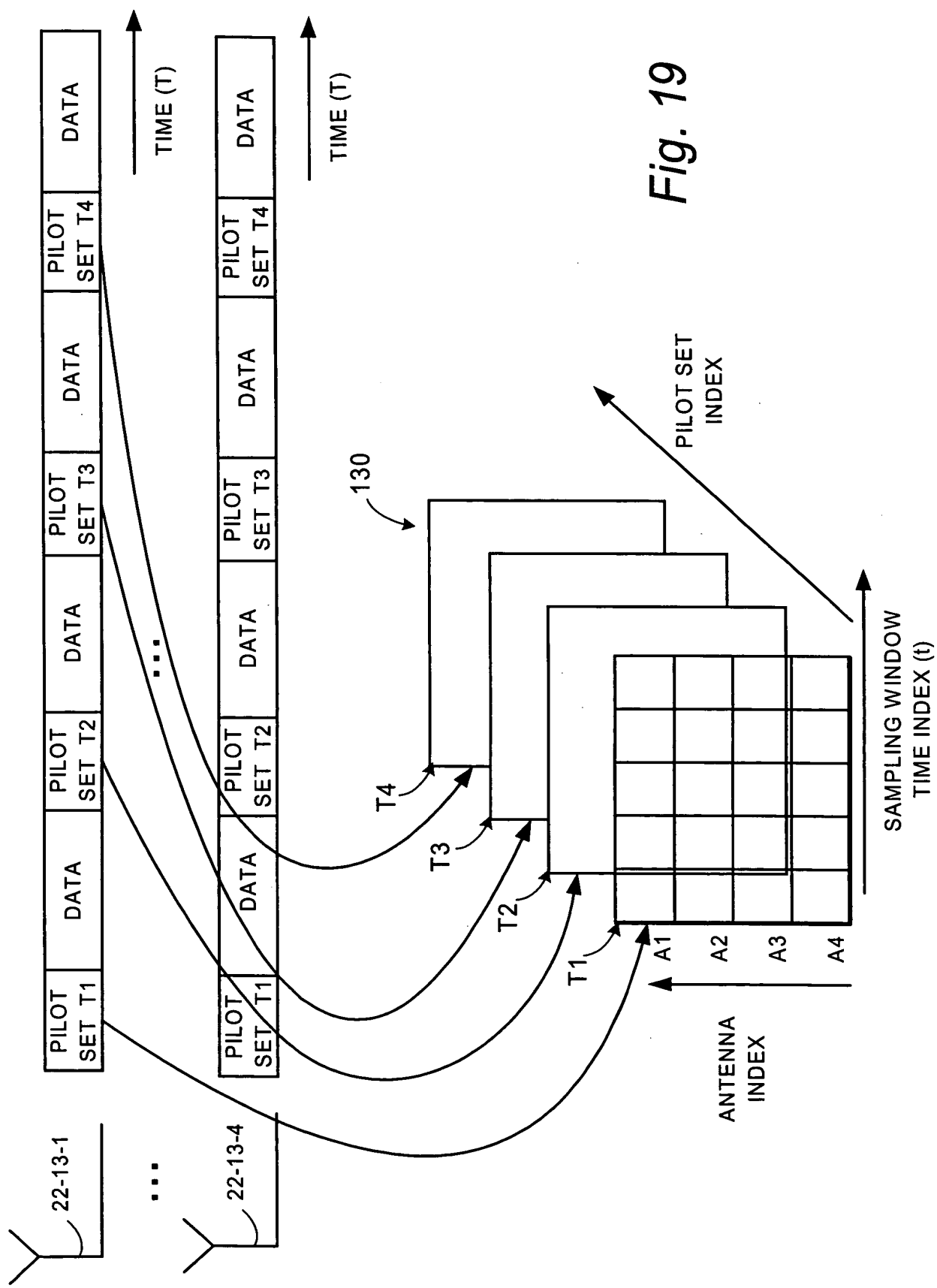
Fig. 16B

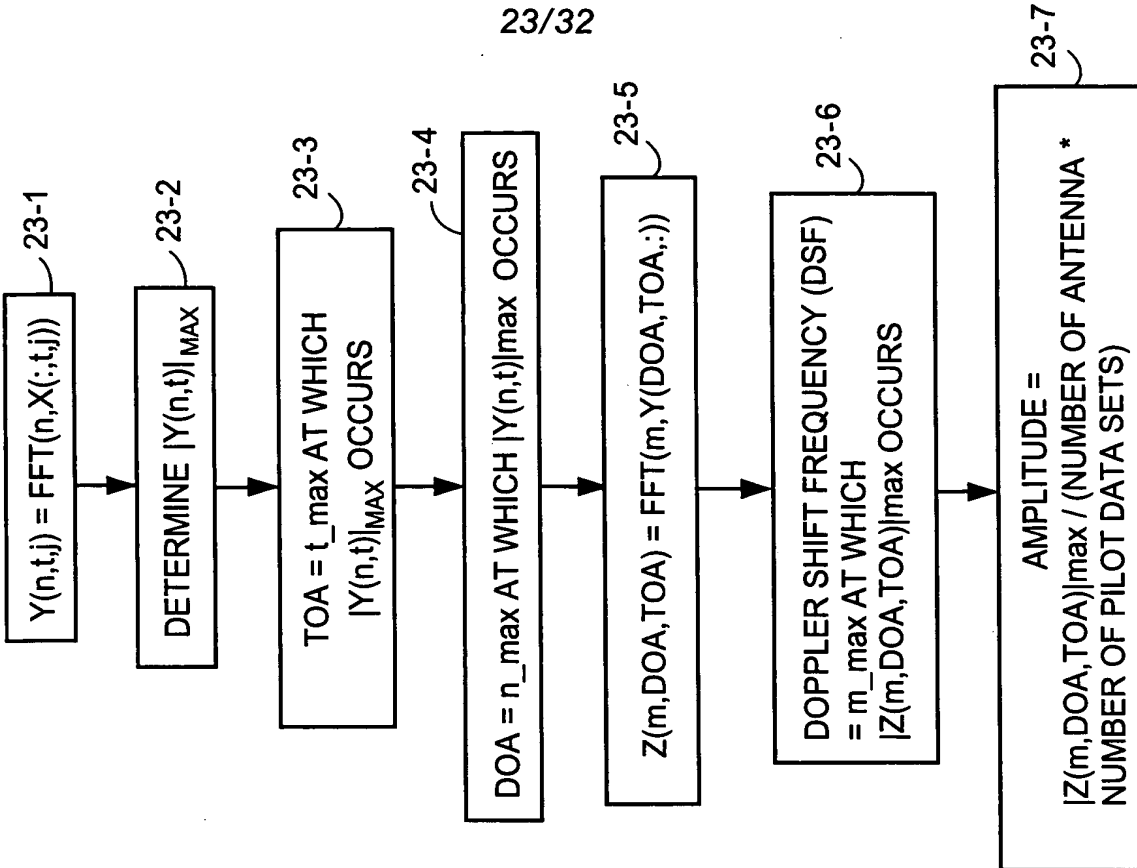
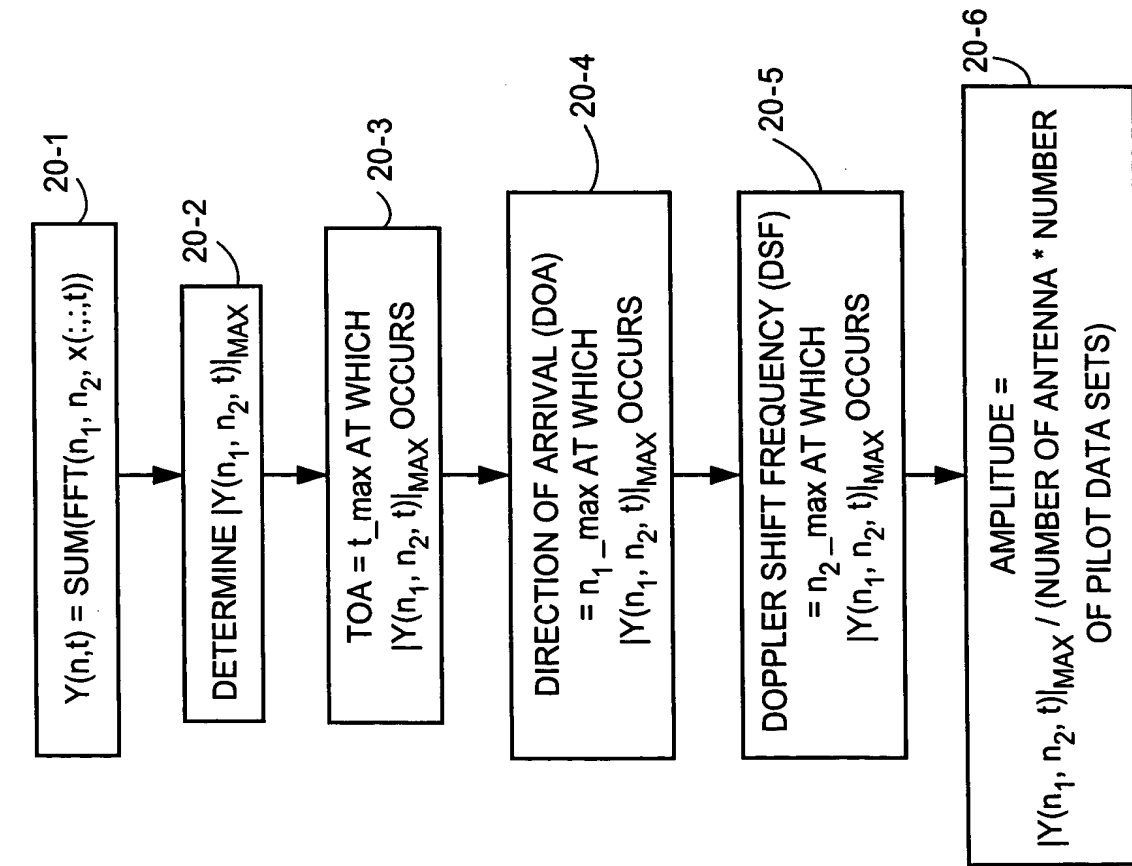
*Fig. 18A*

SPATIO-TEMPORAL JOINT SEARCHER AND CHANNEL ESTIMATOR









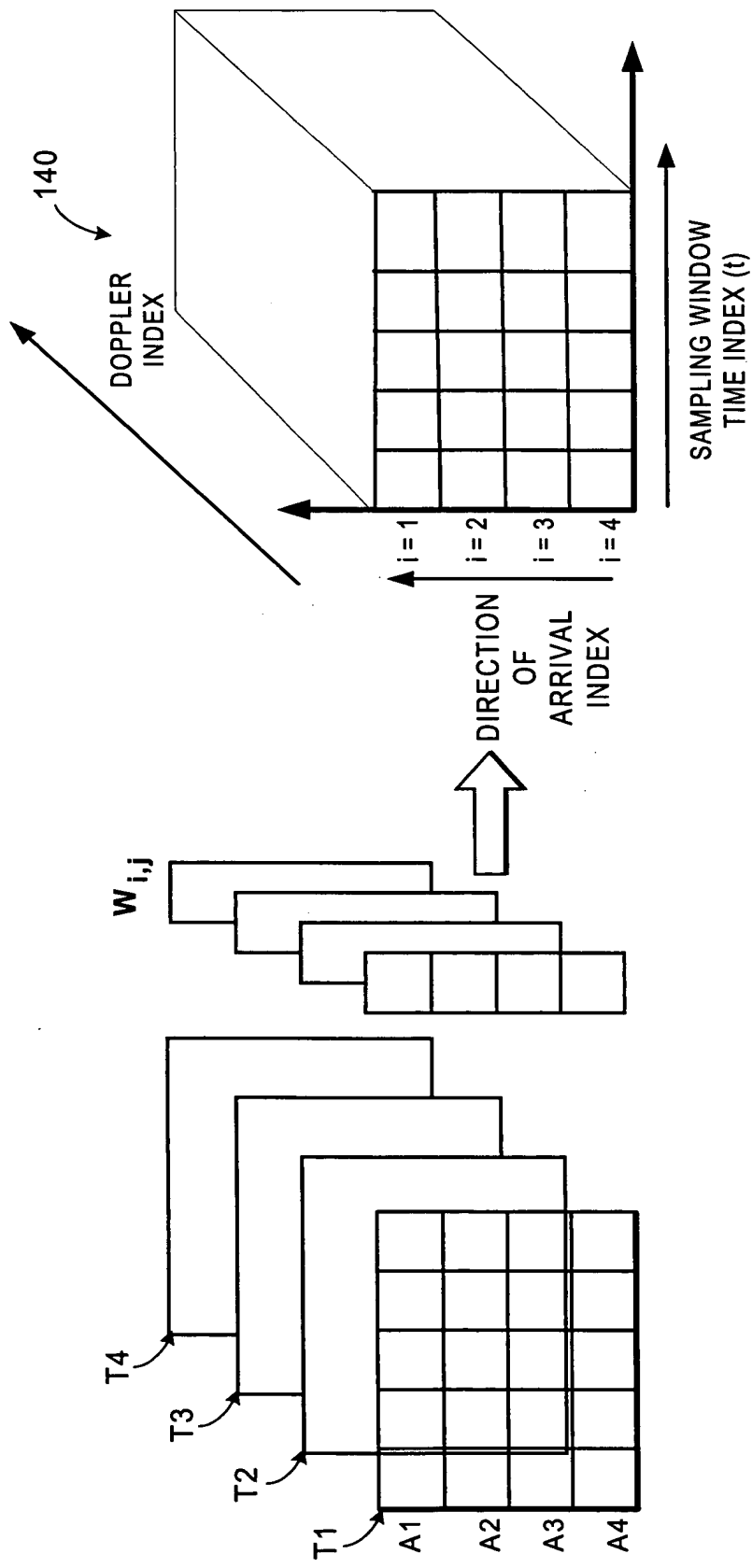


Fig. 21

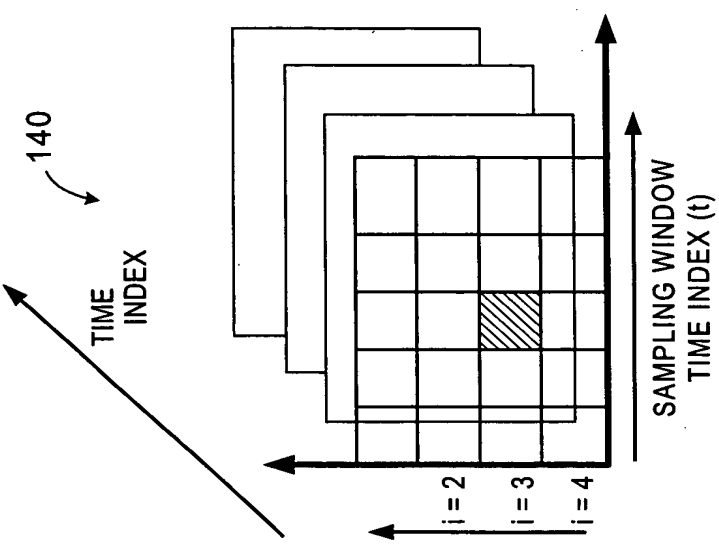


Fig. 22A

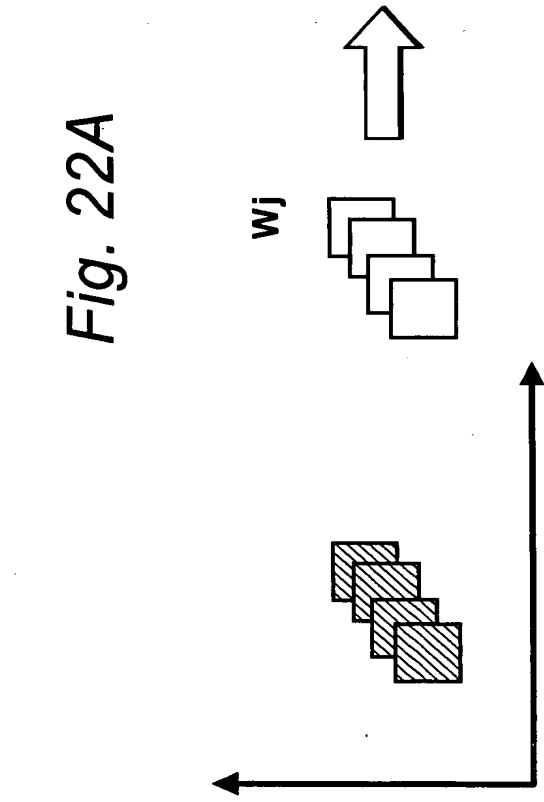
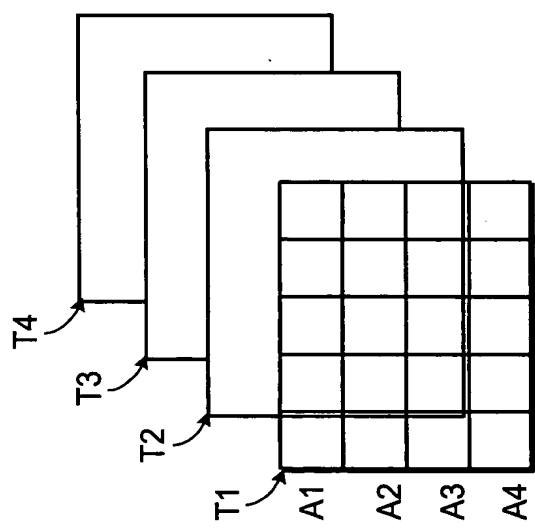


Fig. 22B

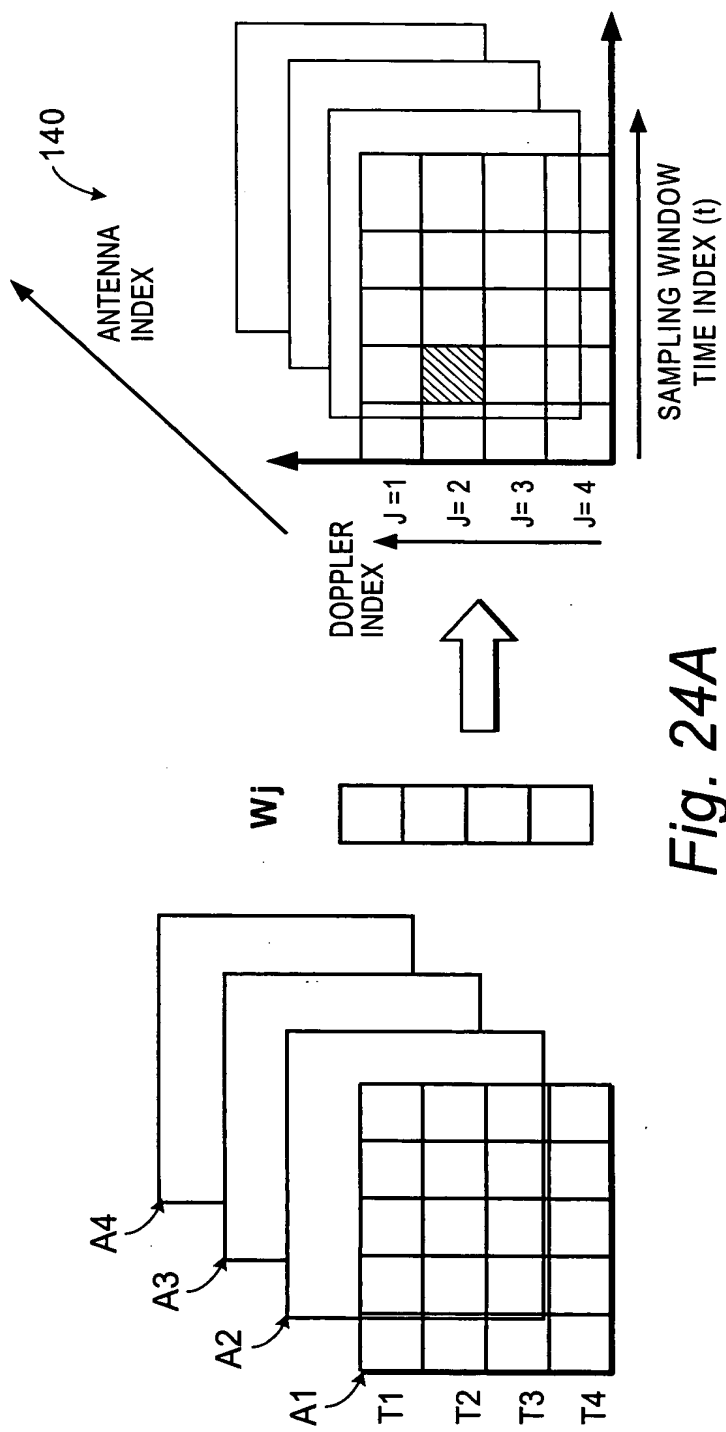


Fig. 24A

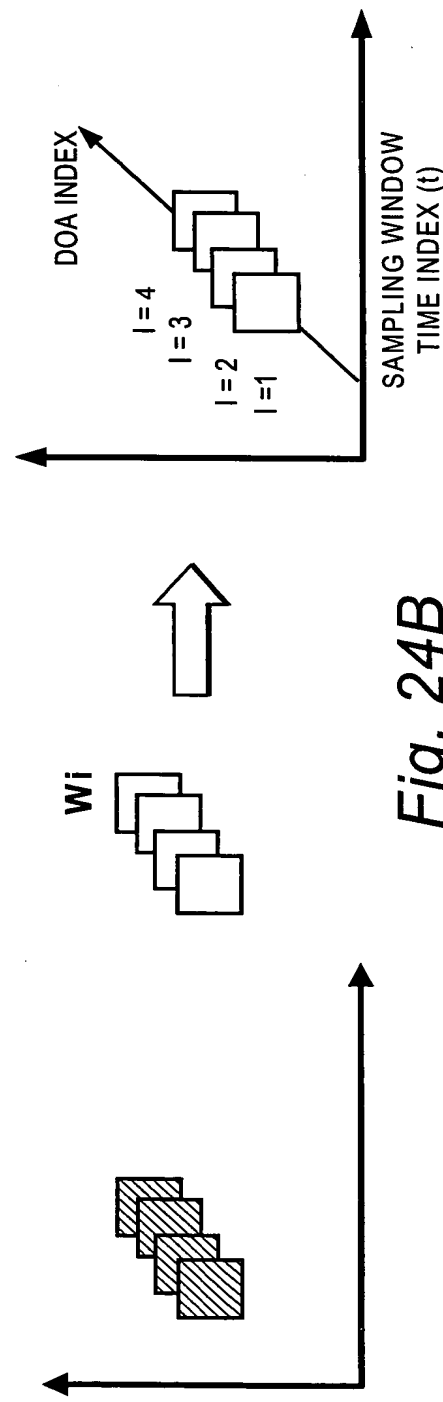
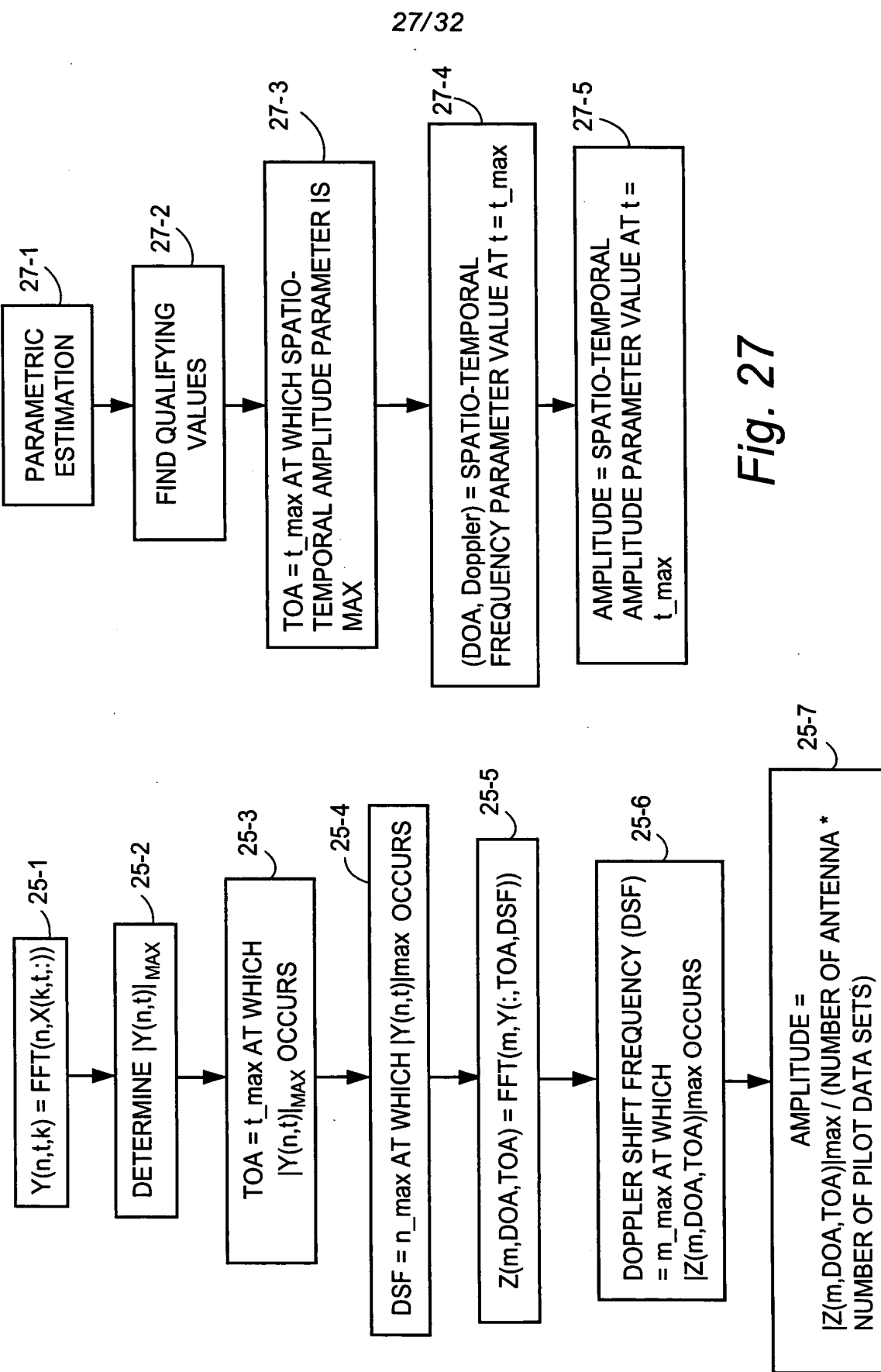


Fig. 24B



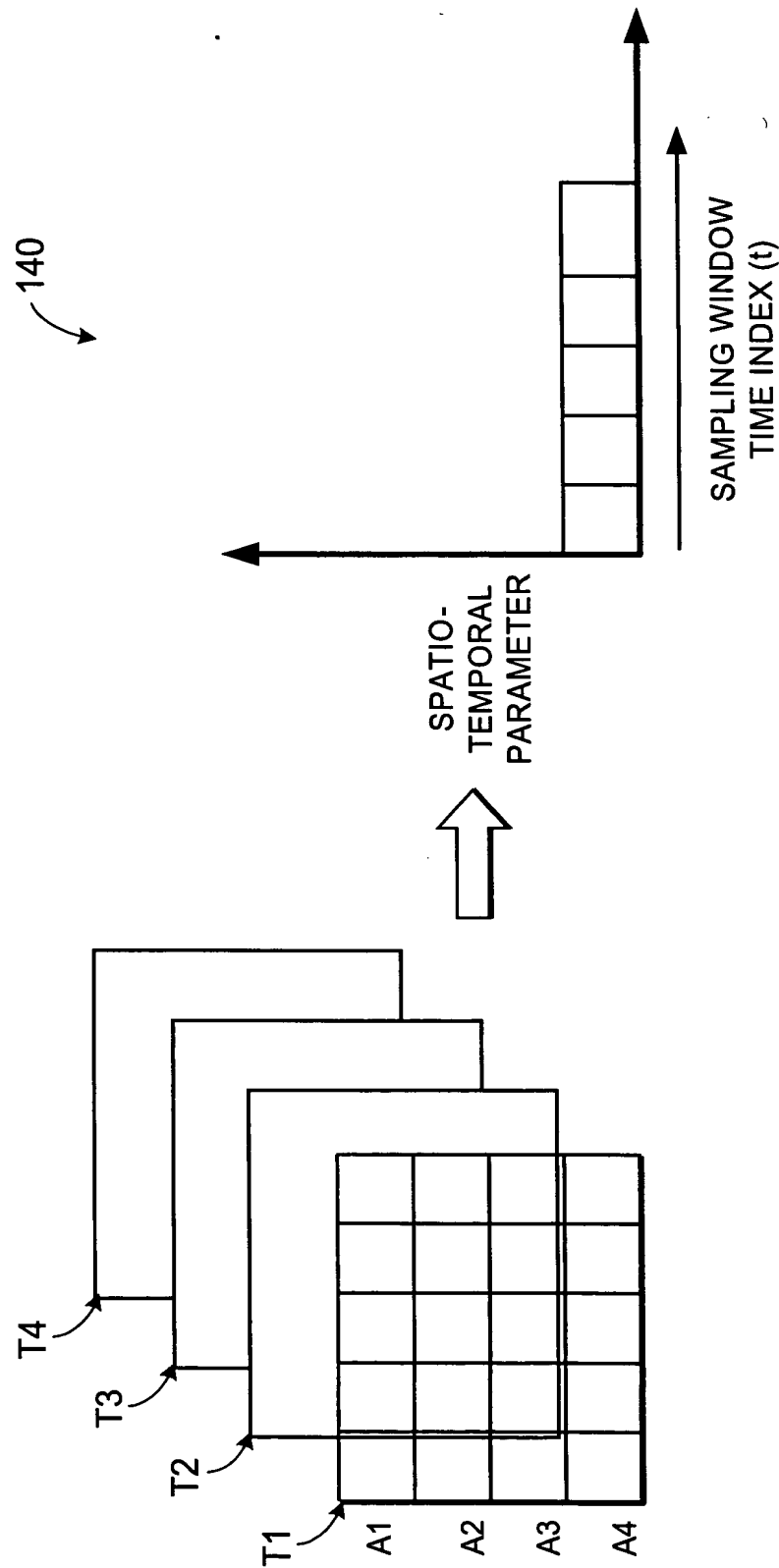


Fig. 26

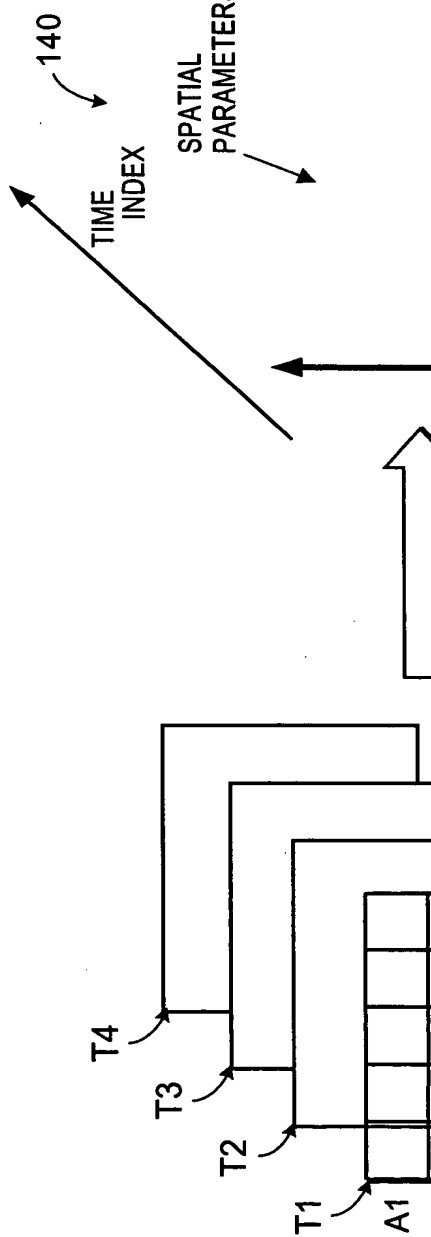


Fig. 28A

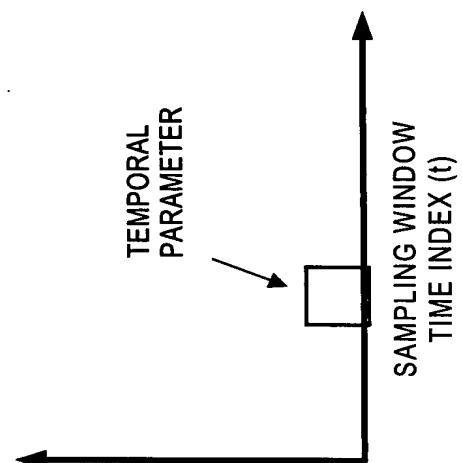
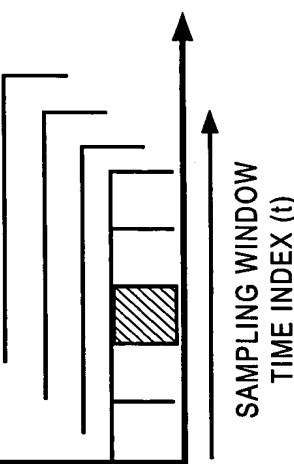
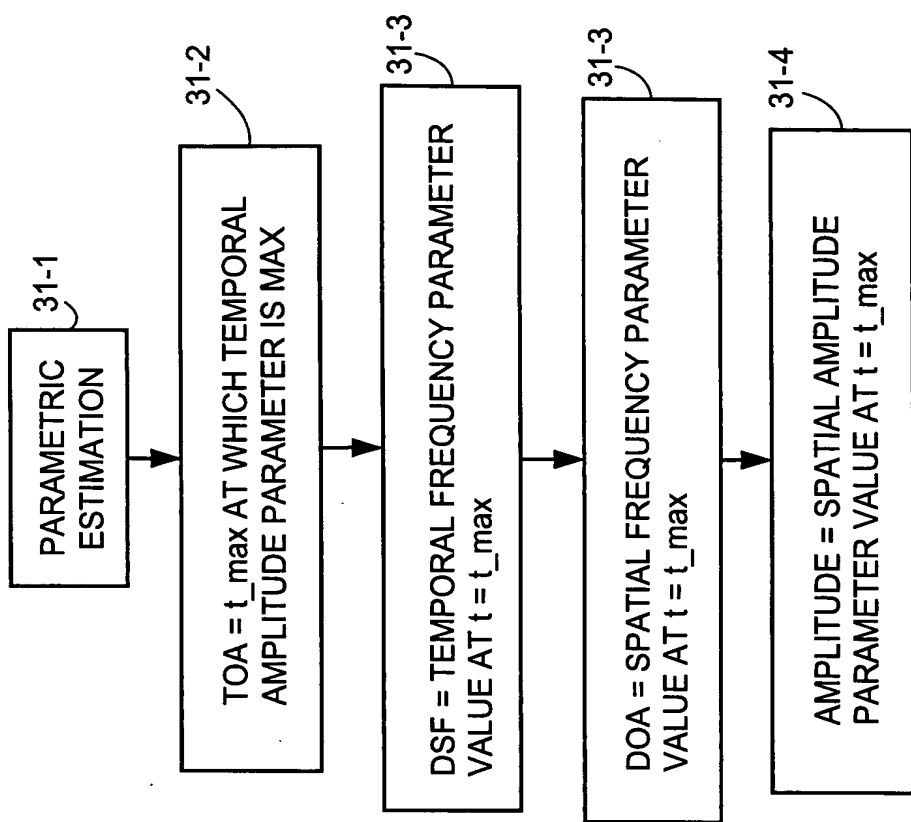
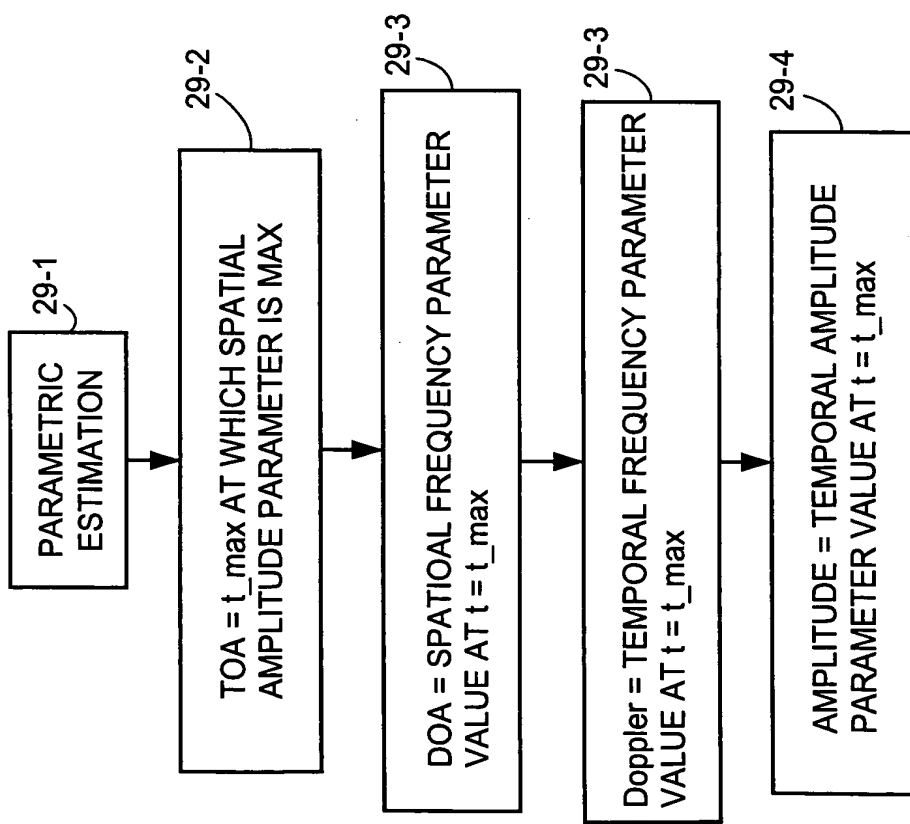


Fig. 28B



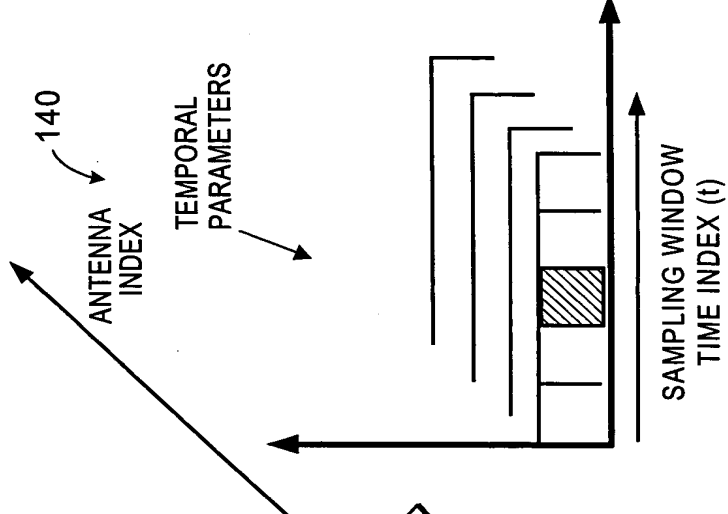


Fig. 30A

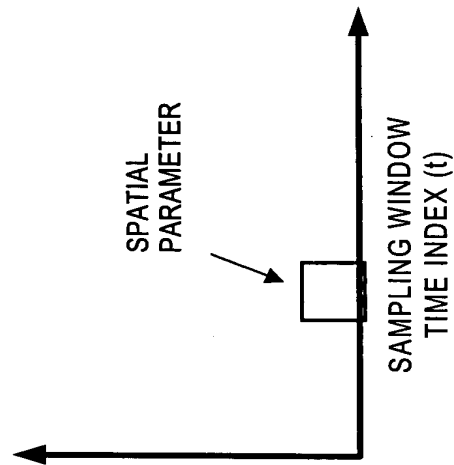
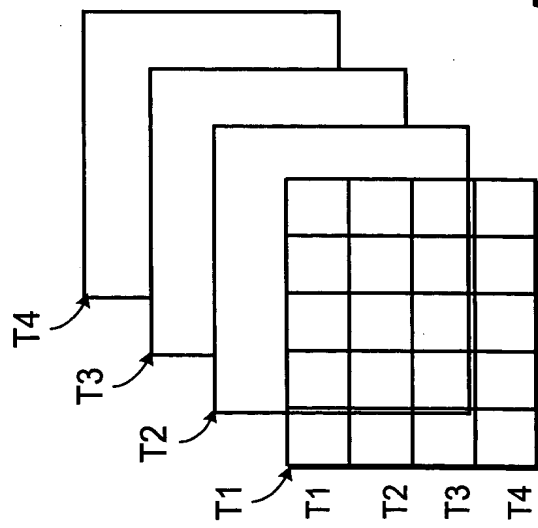
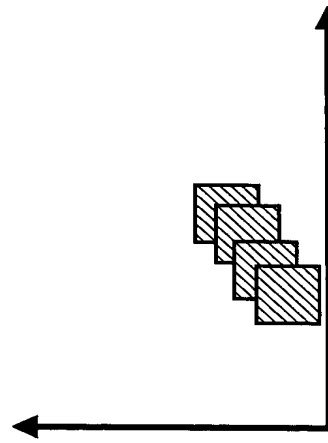


Fig. 30B



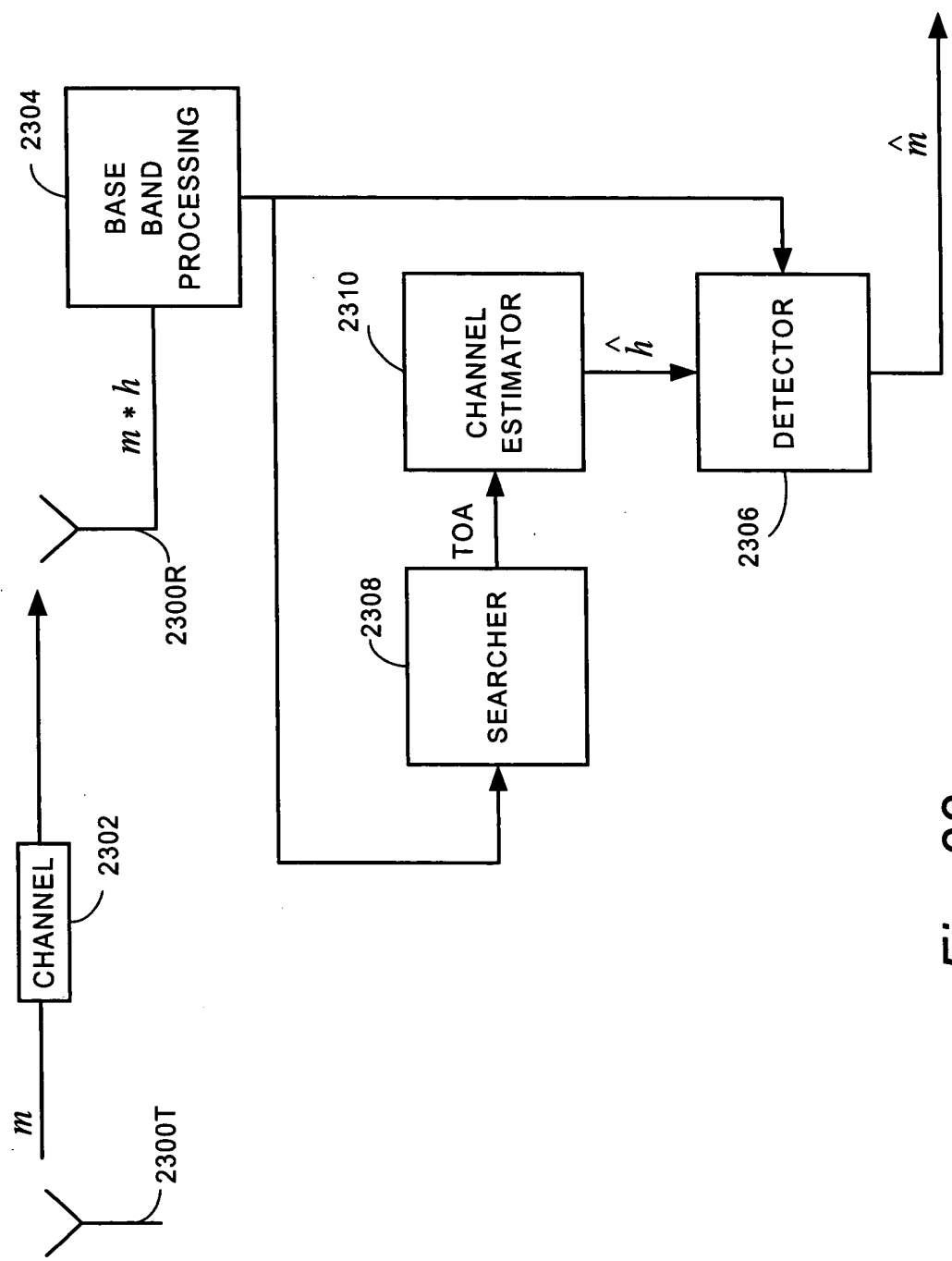


Fig. 32